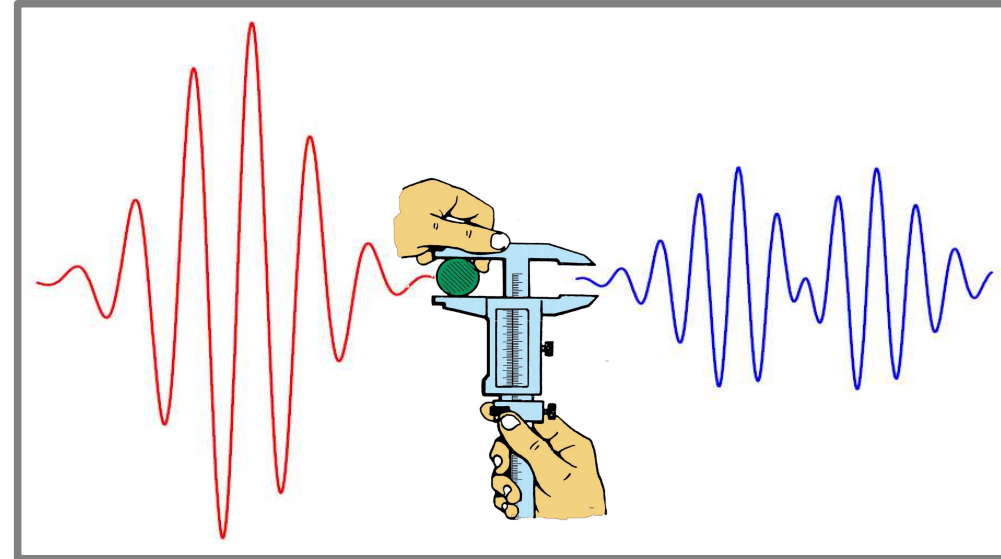


# Лекция 4. Потенциальные барьеры и потенциальные ямы

# Напоминание: Основы формализма квантовой механики

$$\Psi(x): \begin{cases} w(a < x < b) = \int_a^b \Psi^* \Psi dx \\ \vec{j} = \frac{\hbar}{2mi} (\Psi^* \vec{\nabla} \Psi - \Psi \vec{\nabla} \Psi^*) \end{cases}$$

для плоской волны:  $j = \frac{\hbar k}{m} |\Psi|^2$

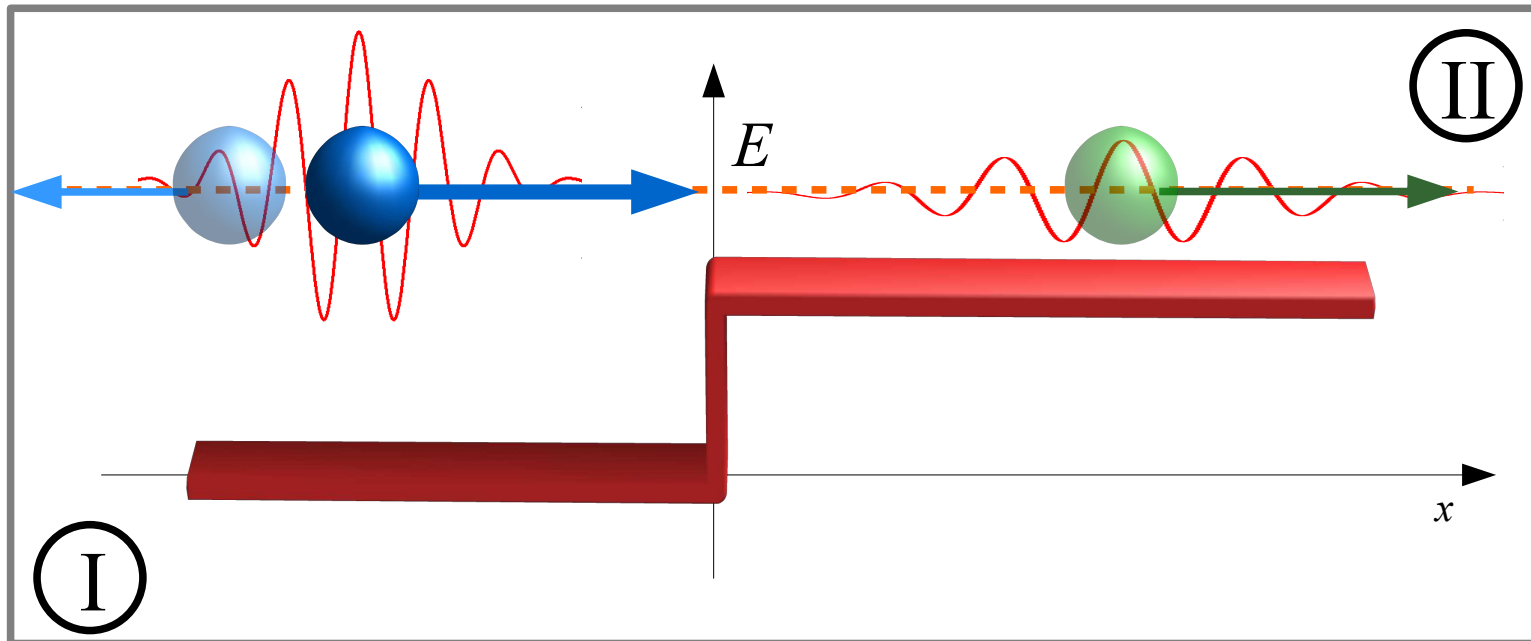


$$i\hbar \frac{\partial \Psi}{\partial t} = \hat{H} \Psi$$
$$\hat{H} \Psi = E \Psi$$

$$\hat{H} = \frac{\hat{\vec{p}}^2}{2m} + U(\vec{r})$$

$$\frac{\hbar^2}{2m} \Delta \Psi + (E - U(\vec{r})) \Psi = 0$$

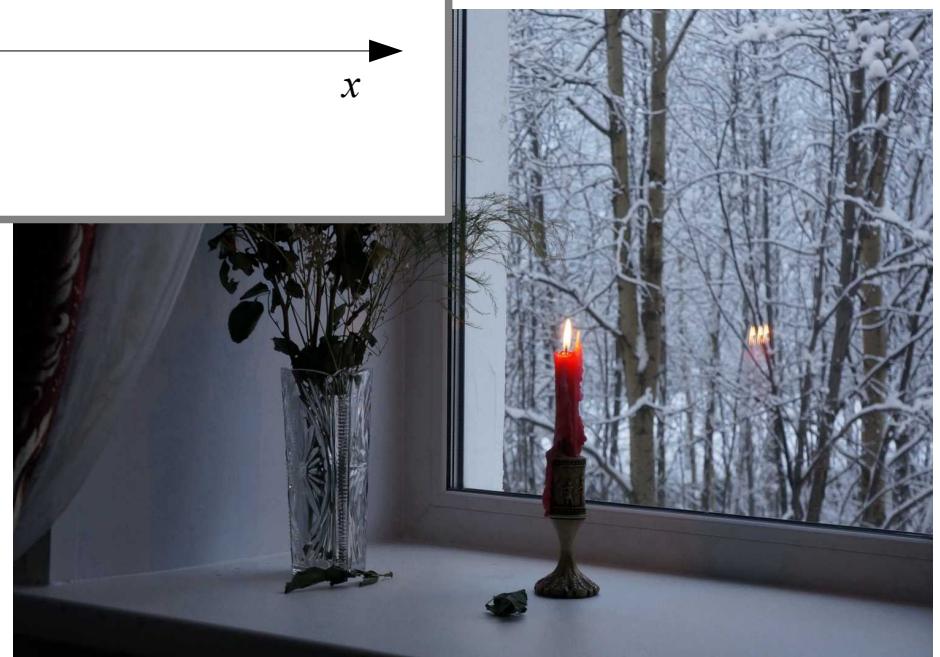
# Задача о «бесконечном» барьере



$$R = \frac{j_{\text{отр}}}{j_{\text{пад}}} = |A|^2 = \left( \frac{k - k'}{k + k'} \right)^2$$

$$T = \frac{j_{\text{прош}}}{j_{\text{пад}}} = \frac{k'}{k} |B|^2 = \frac{4 k k'}{(k + k')^2}$$

$$R + T = 1$$



[https://img.fotokonkurs.ru/cache/photo\\_1500w/photos/2016/03/22/3/c3ed29671412ad14acb00f143c101cea/2a565a5bef35478d88af858a02d7dc0c7f75b2c6.jpg](https://img.fotokonkurs.ru/cache/photo_1500w/photos/2016/03/22/3/c3ed29671412ad14acb00f143c101cea/2a565a5bef35478d88af858a02d7dc0c7f75b2c6.jpg)

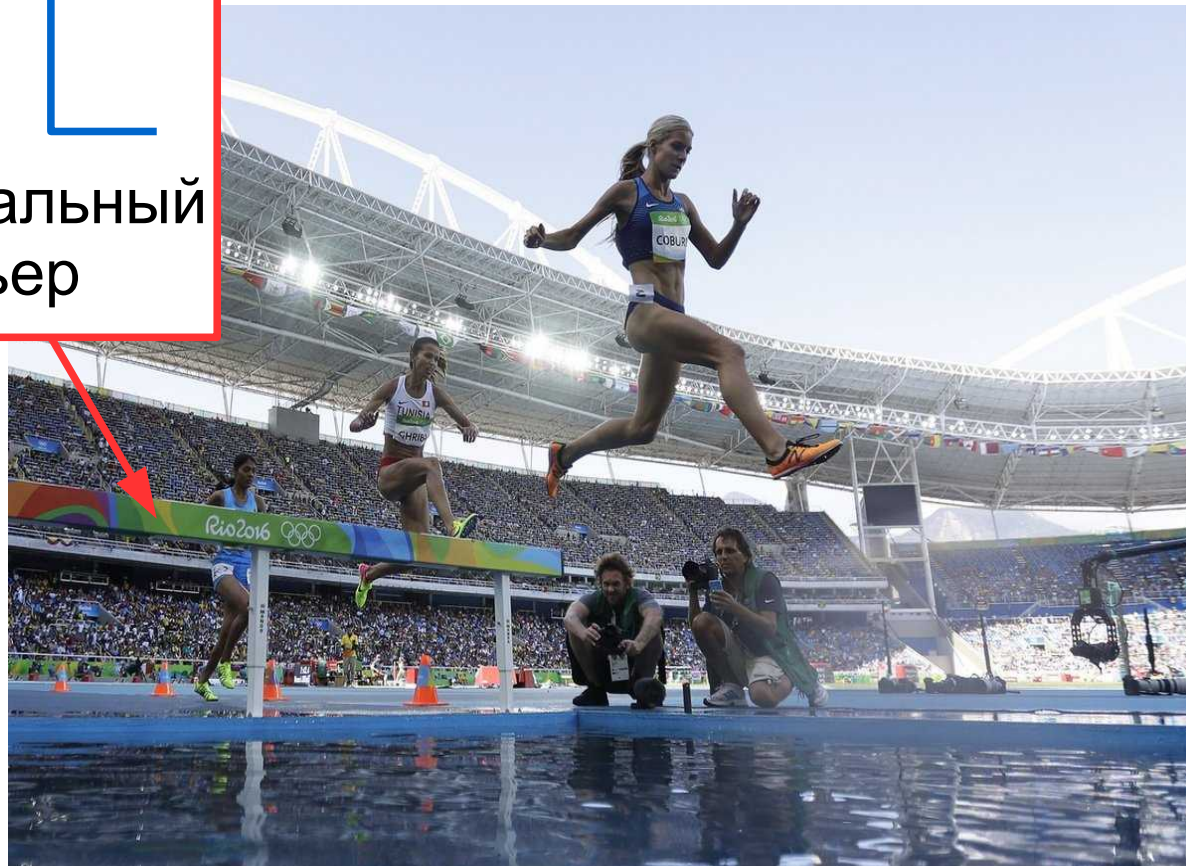
# Квантовая задача о яме и барьере



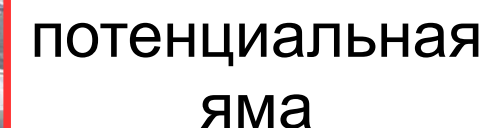
# Квантовая задача о яме и барьере



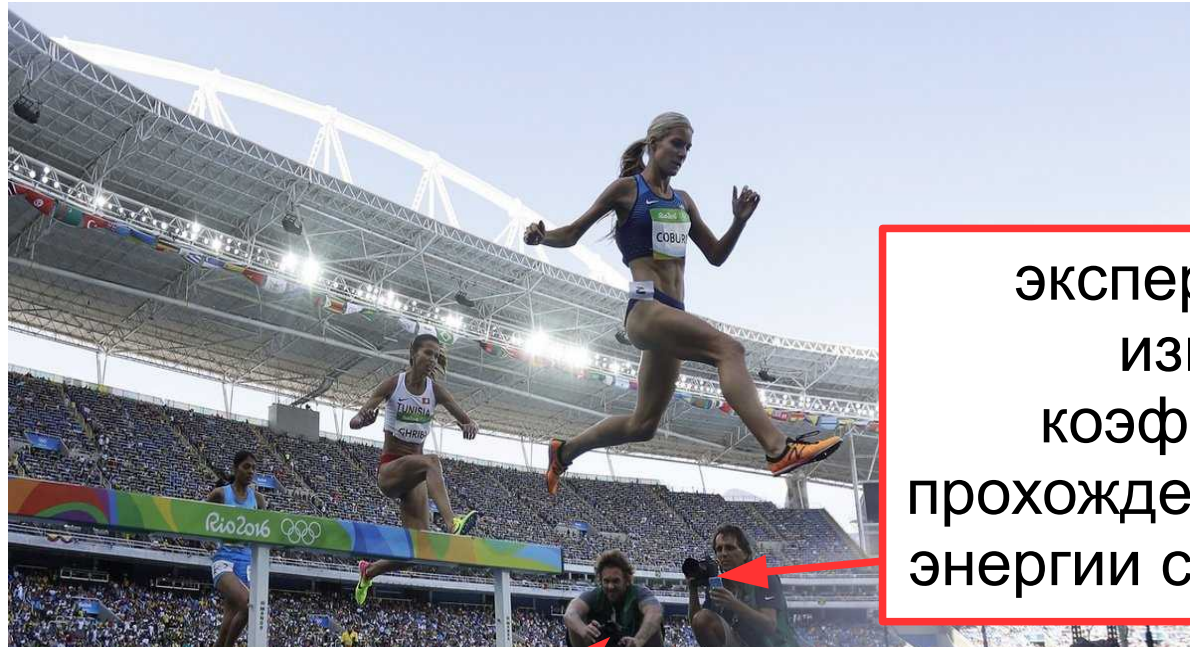
потенциальный  
барьер



# Квантовая задача о яме и барьере



# Квантовая задача о яме и барьере



экспериментатор:  
измерение  
коэффициентов  
прохождения/отражения,  
энергии состояний в яме

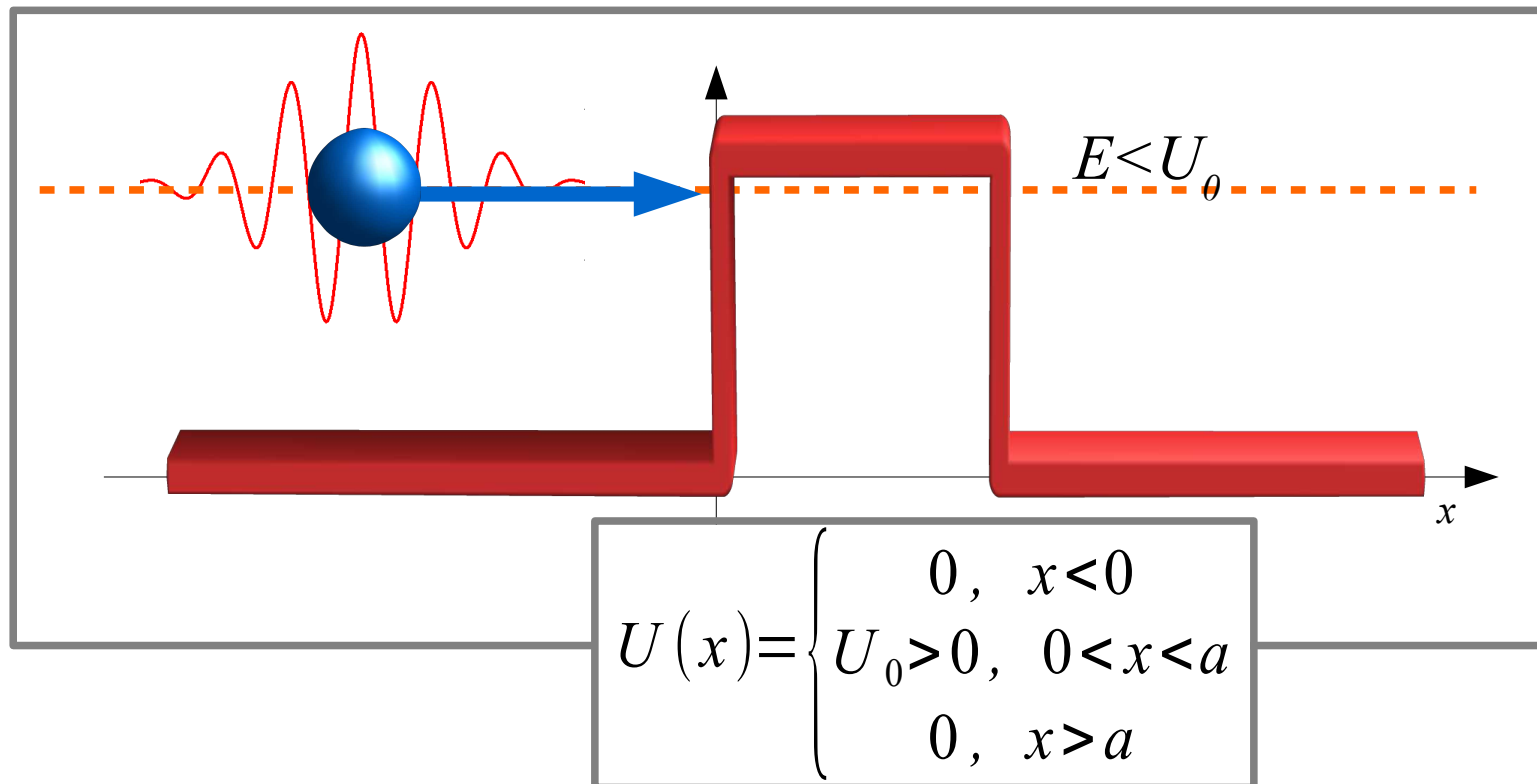
теоретик

$$-\frac{\hbar^2}{2m} \frac{\partial^2}{\partial x^2} \Psi + U(x) \Psi = E \Psi$$

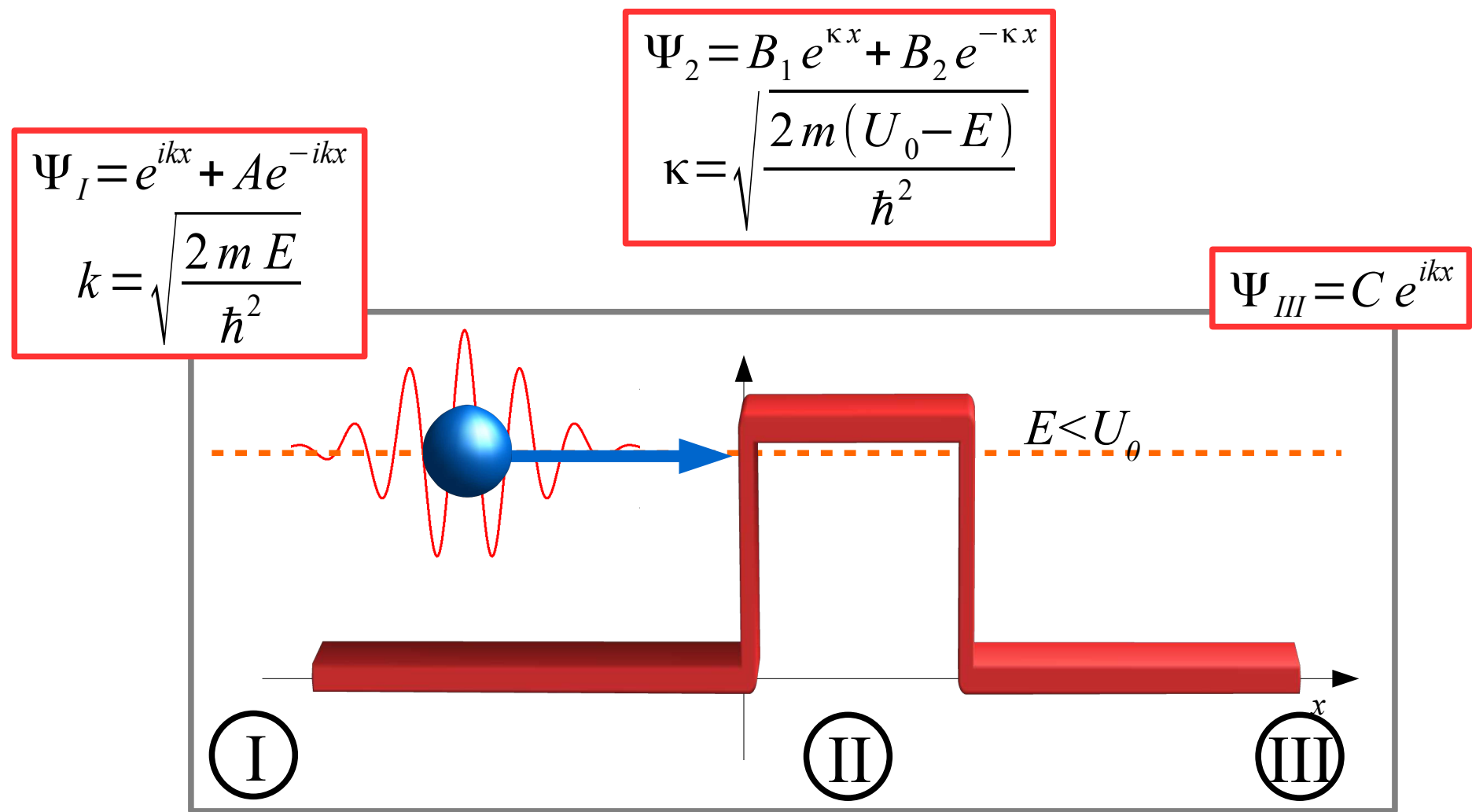


# Часть 1: Подбарьерное туннелирование

$$\frac{\hbar^2}{2m} \Psi'' + (E - U(x)) \Psi = 0$$



# Подбарьерное туннелирование



$$C e^{i k a} = \frac{1}{\operatorname{ch}(\kappa a) + i \frac{\kappa^2 - k^2}{2 \kappa k} \operatorname{sh}(\kappa a)}$$

коэффициент прохождения

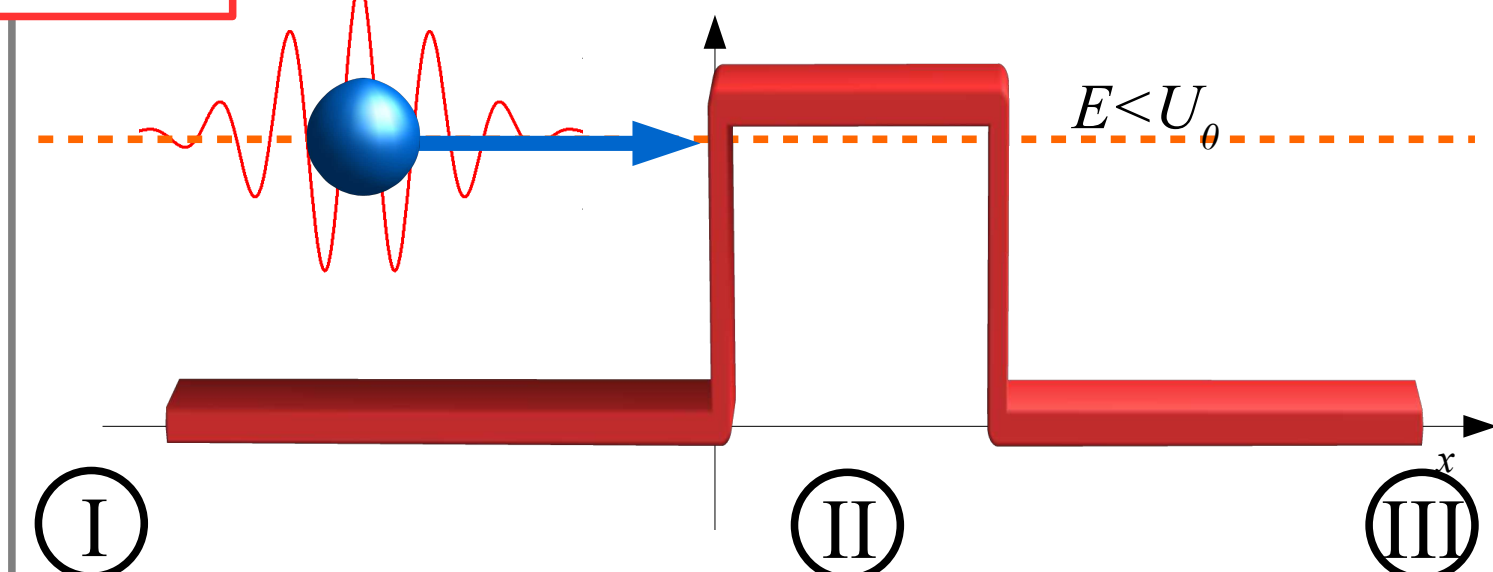
$$T = \frac{j_{\text{прош}}}{j_{\text{над}}} = |C e^{i k a}|^2 = \frac{1}{1 + \frac{(k^2 + \kappa^2)^2}{4 \kappa^2 k^2} \operatorname{sh}^2(\kappa a)} = \frac{1}{1 + \frac{U_0^2}{4 E (U_0 - E)} \operatorname{sh}^2(\kappa a)}$$

$\Psi$

$$k = \sqrt{\frac{2 m E}{\hbar^2}}$$

$$\sqrt{\hbar^2}$$

$$\Psi_{\text{III}} = C e^{i k x}$$



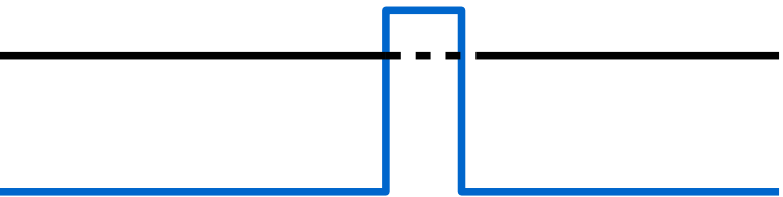
# Предельные случаи для туннелирования

$$T = \frac{1}{1 + \frac{U_0^2}{4E(U_0 - E)} \operatorname{sh}^2(\kappa a)}$$

$(\kappa a) \gg 1$



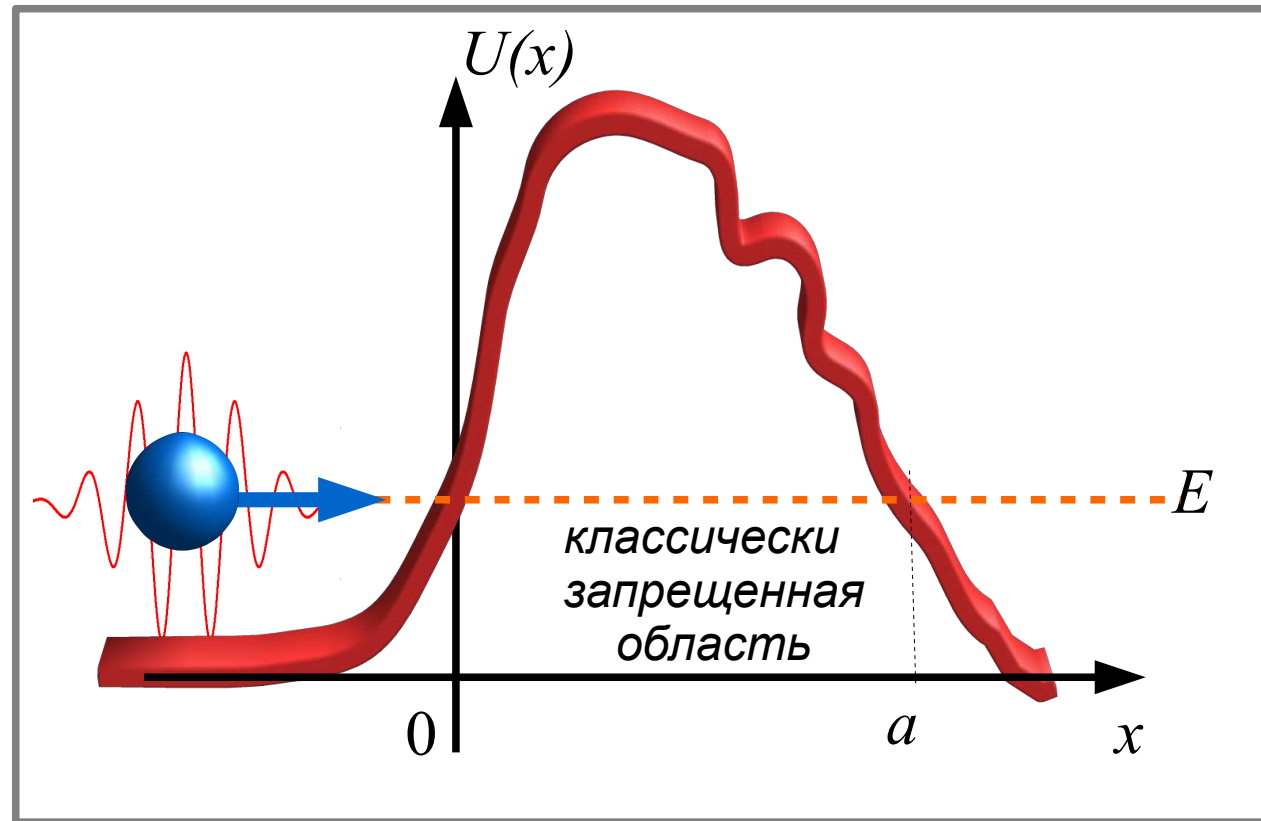
$(\kappa a) \ll 1$



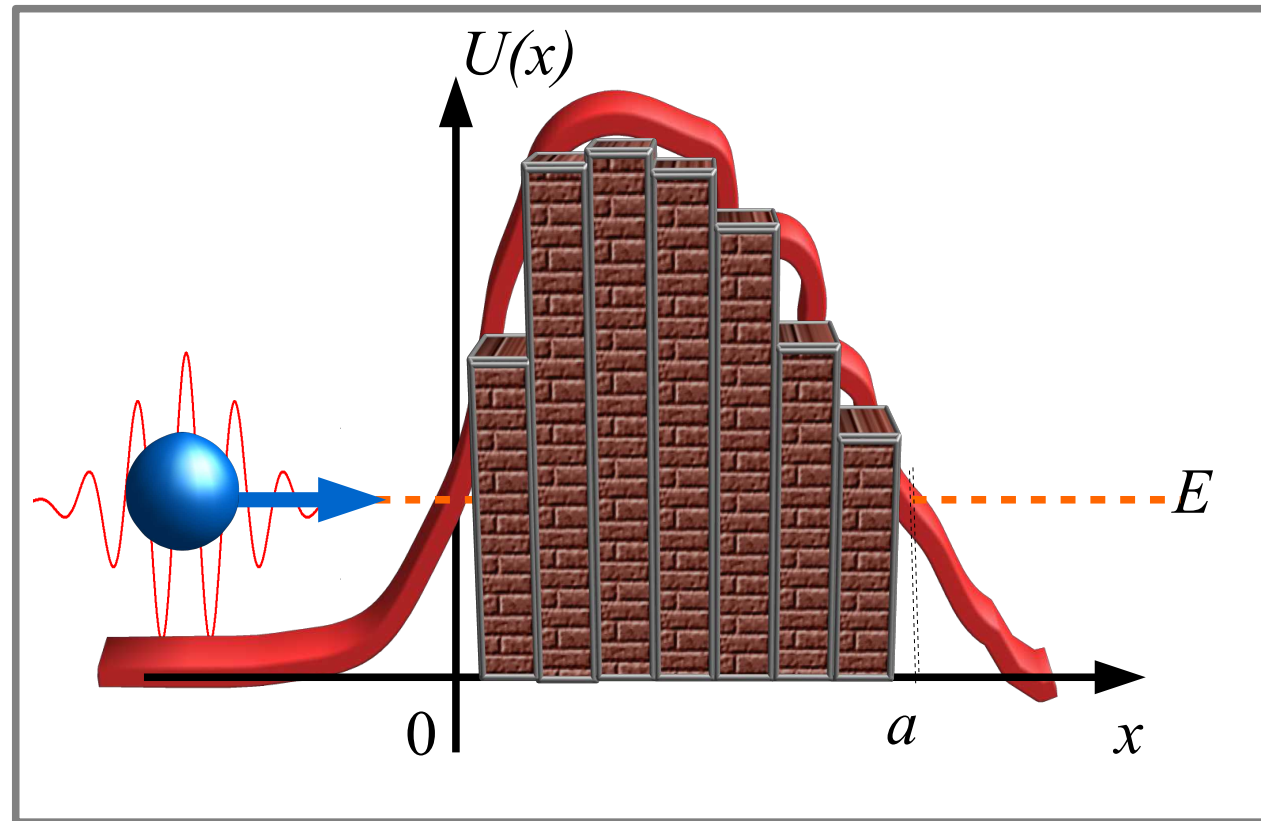
$$T \approx \frac{16E(U_0 - E)}{U_0^2} e^{-2\kappa a} \simeq e^{-2\kappa a}$$

$$T \approx \frac{1}{1 + \frac{m a^2 U_0^2}{2\hbar^2 E}}$$

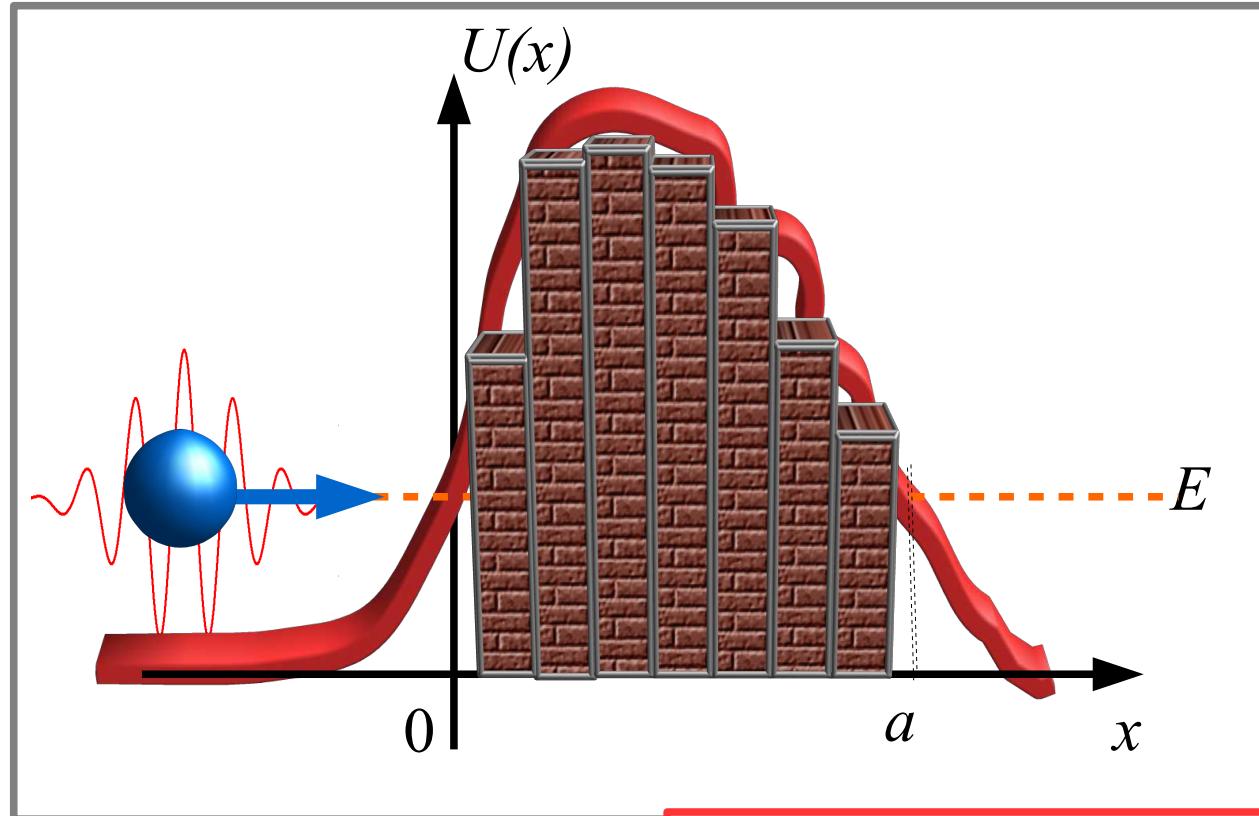
# Высокий барьер «произвольной» формы



# Высокий барьер «произвольной» формы

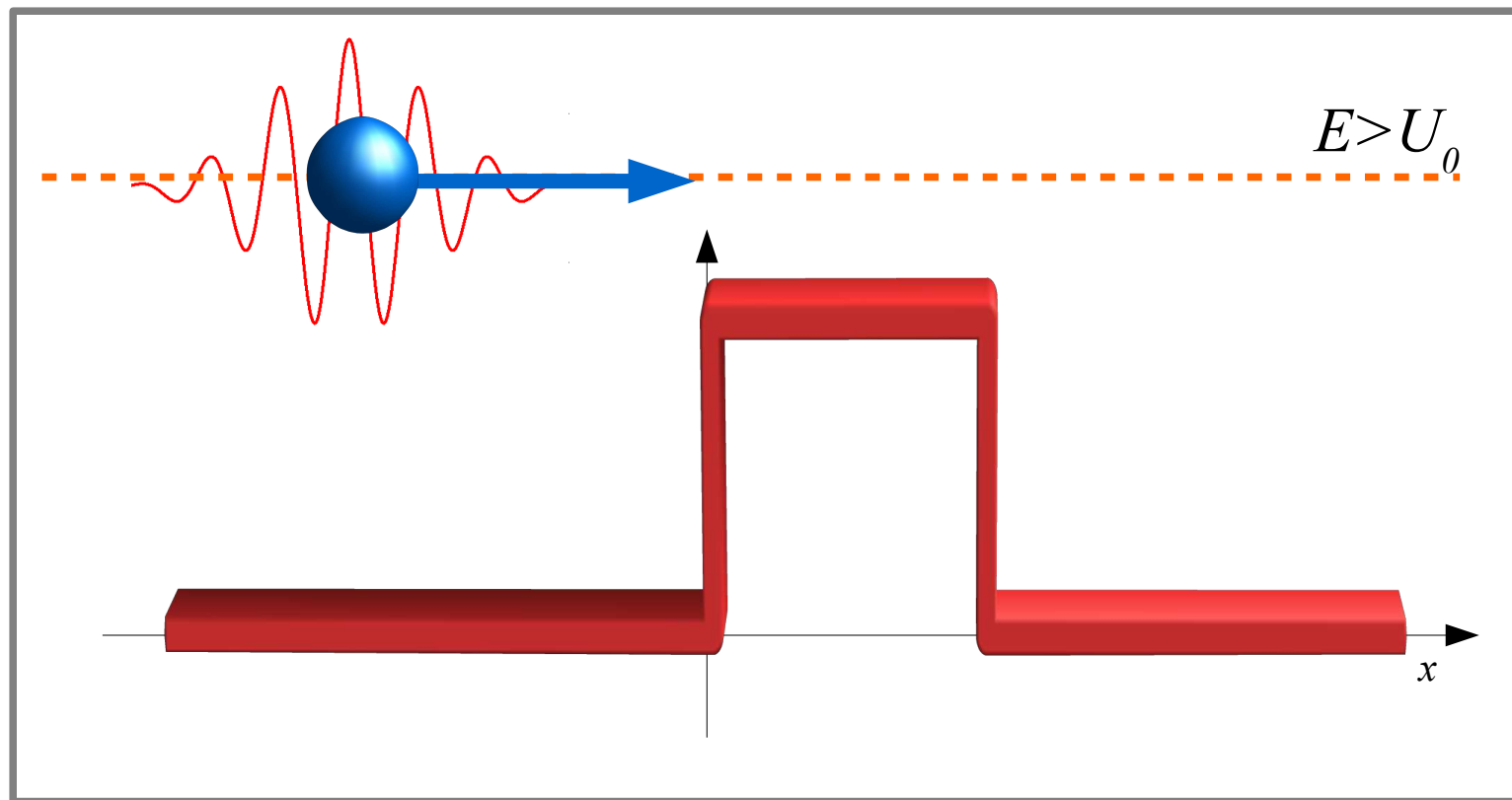


# Высокий барьер «произвольной» формы

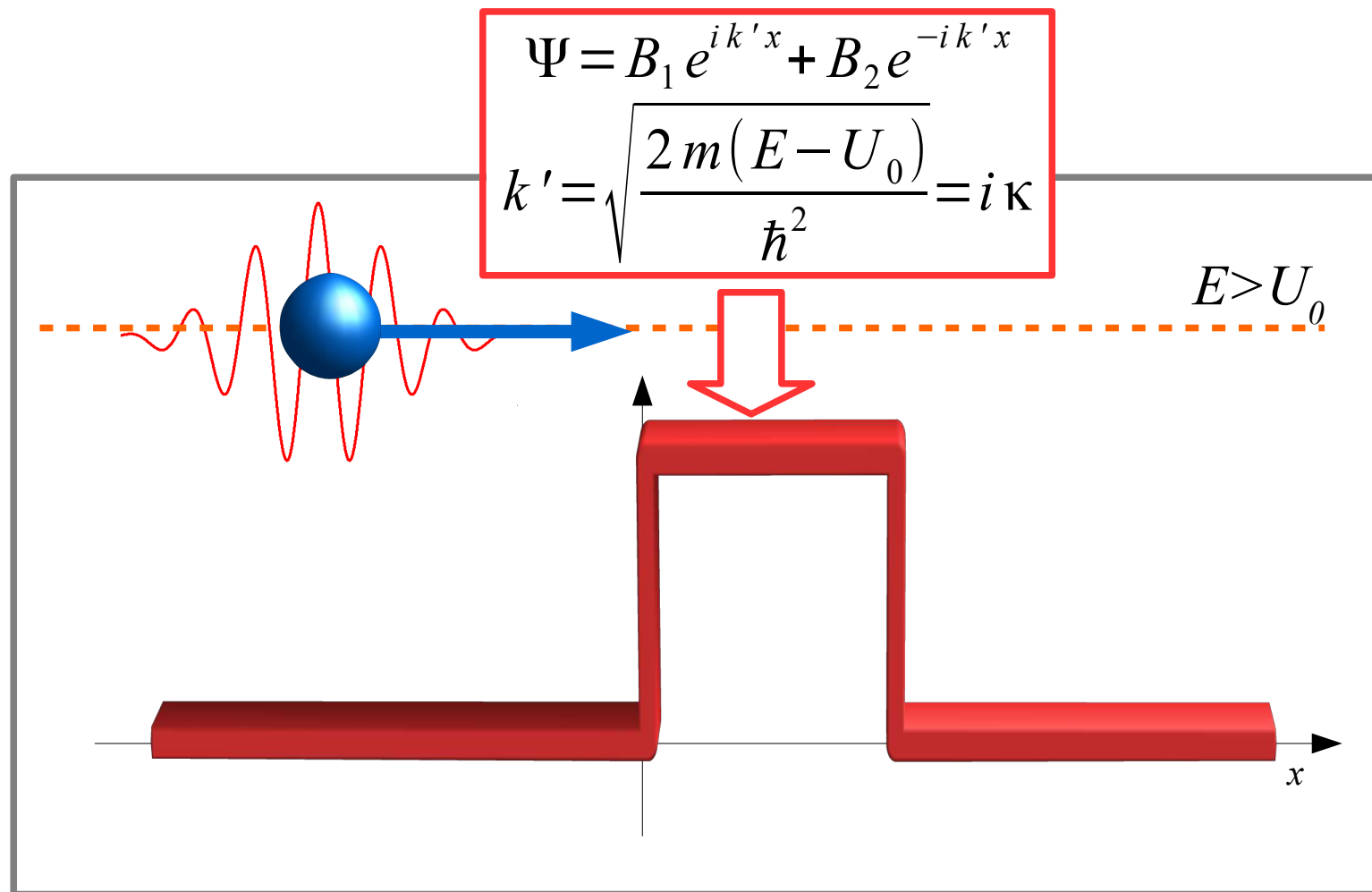


$$T \sim \exp \left( -2 \int_a^b \frac{\sqrt{2m(U(x)-E)}}{\hbar} dx \right)$$

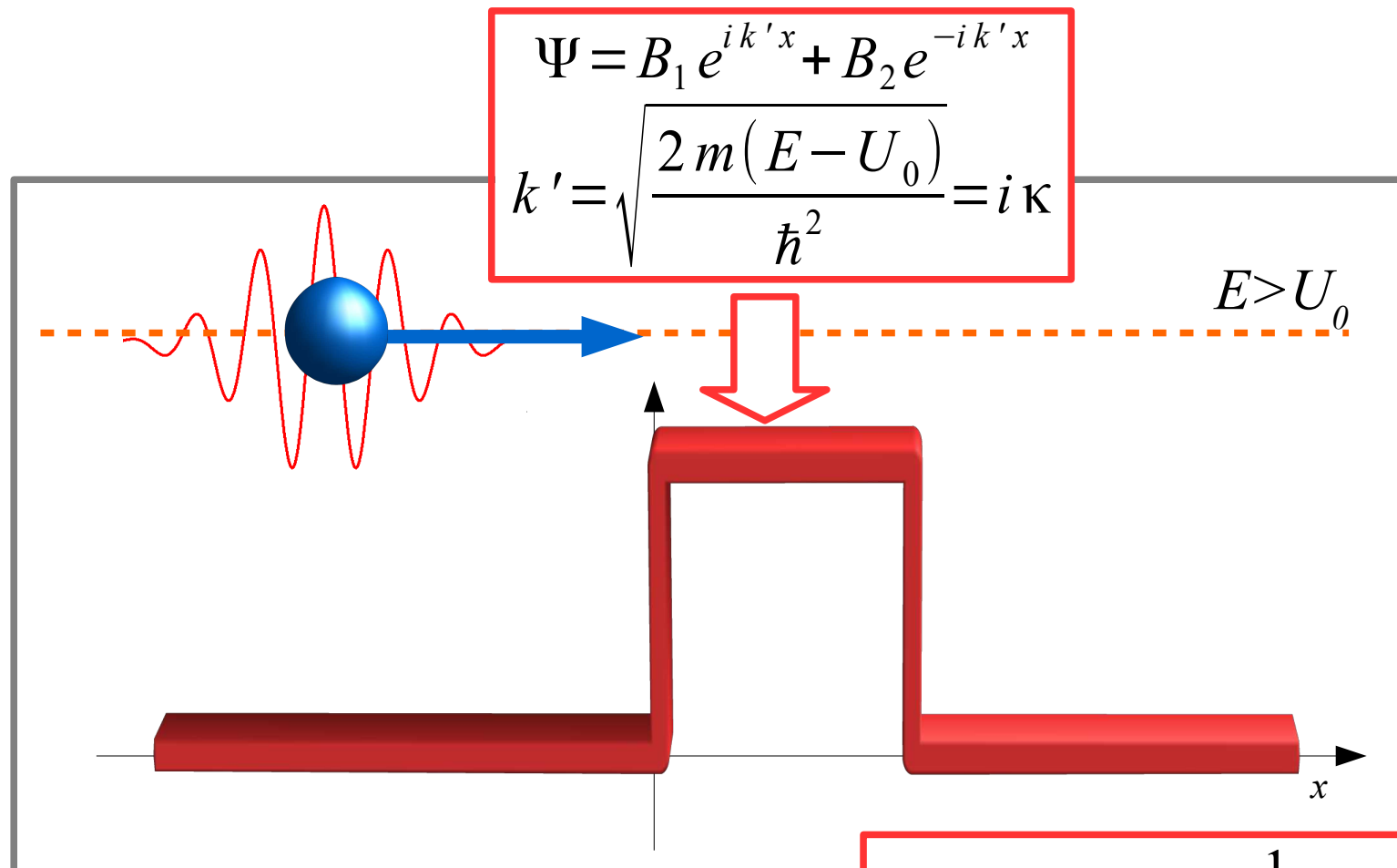
# Бонус: надбарьерное отражение



# Бонус: надбарьерное отражение



# Бонус: надбарьерное отражение

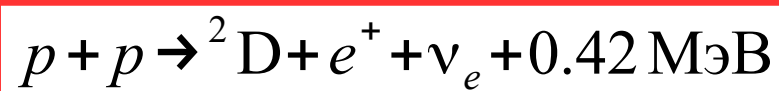
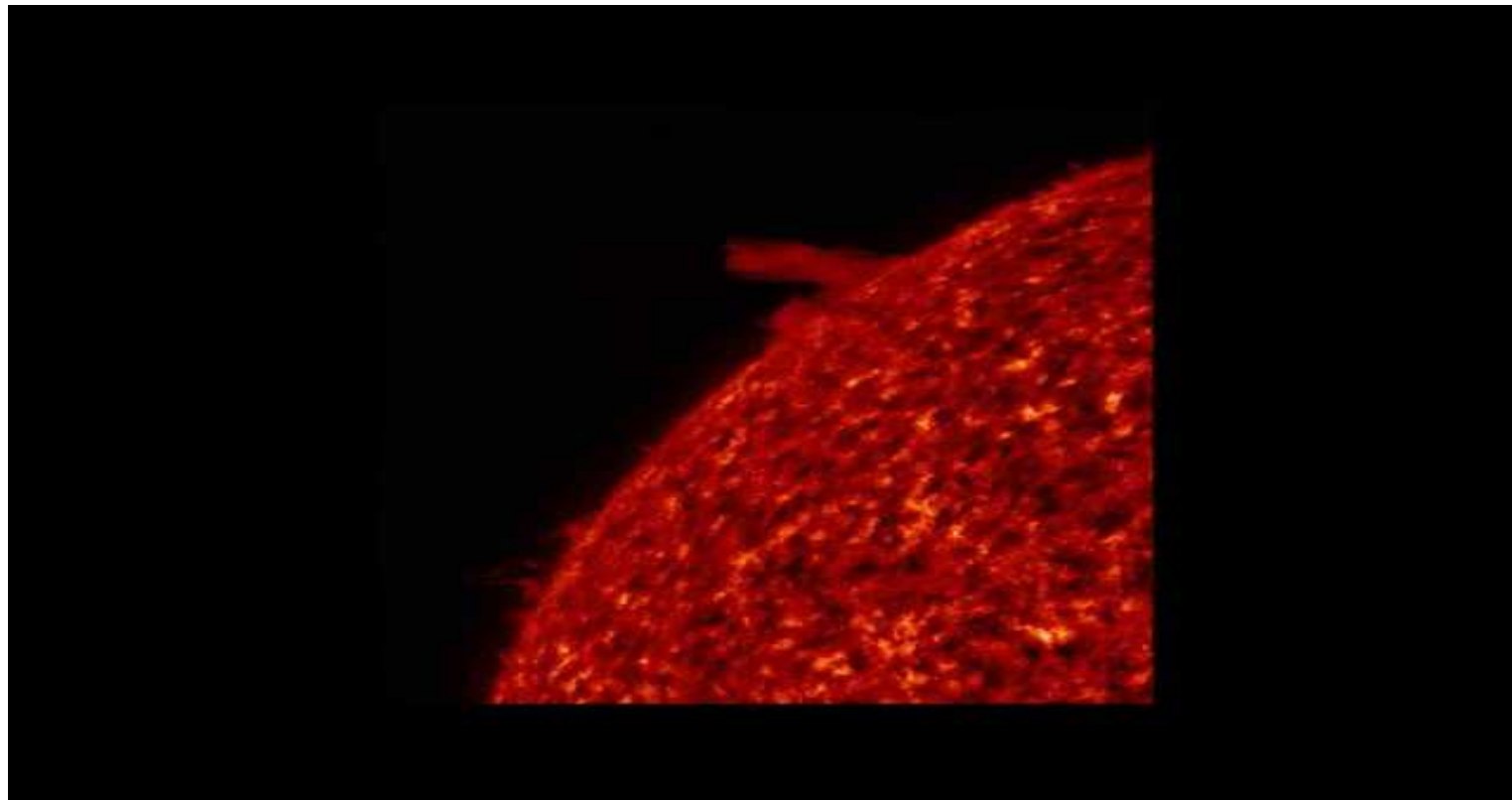


$$T = \frac{1}{1 + \frac{U_0^2}{4E(E - U_0)} \sin^2(k' a)}$$

# Часть 2: Проявление и применение эффекта подбарьерного туннелирования

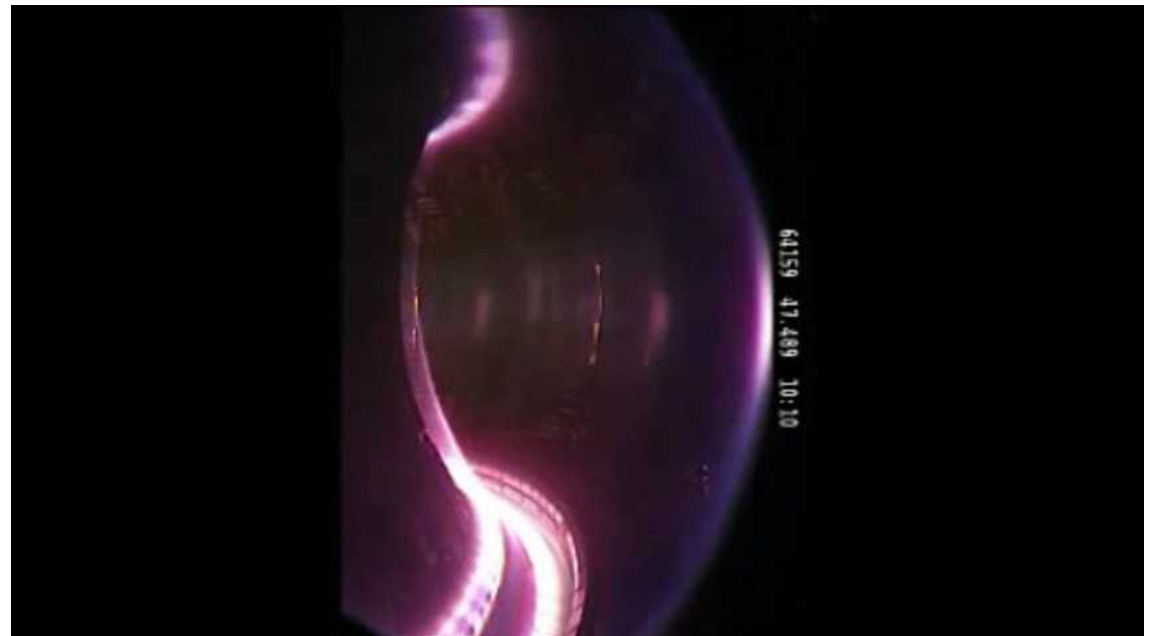
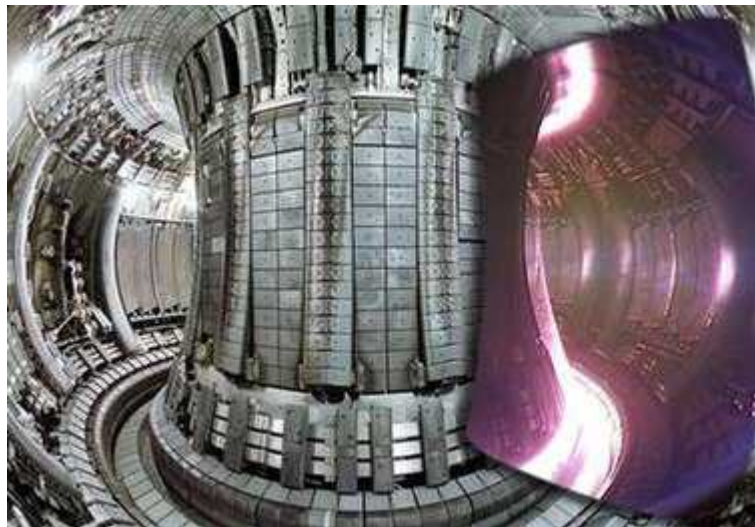
- Реакции ядерного синтеза
- Альфа-распад
- Туннельные контакты проводников и туннельный микроскоп

# Реакции ядерного синтеза: звезды



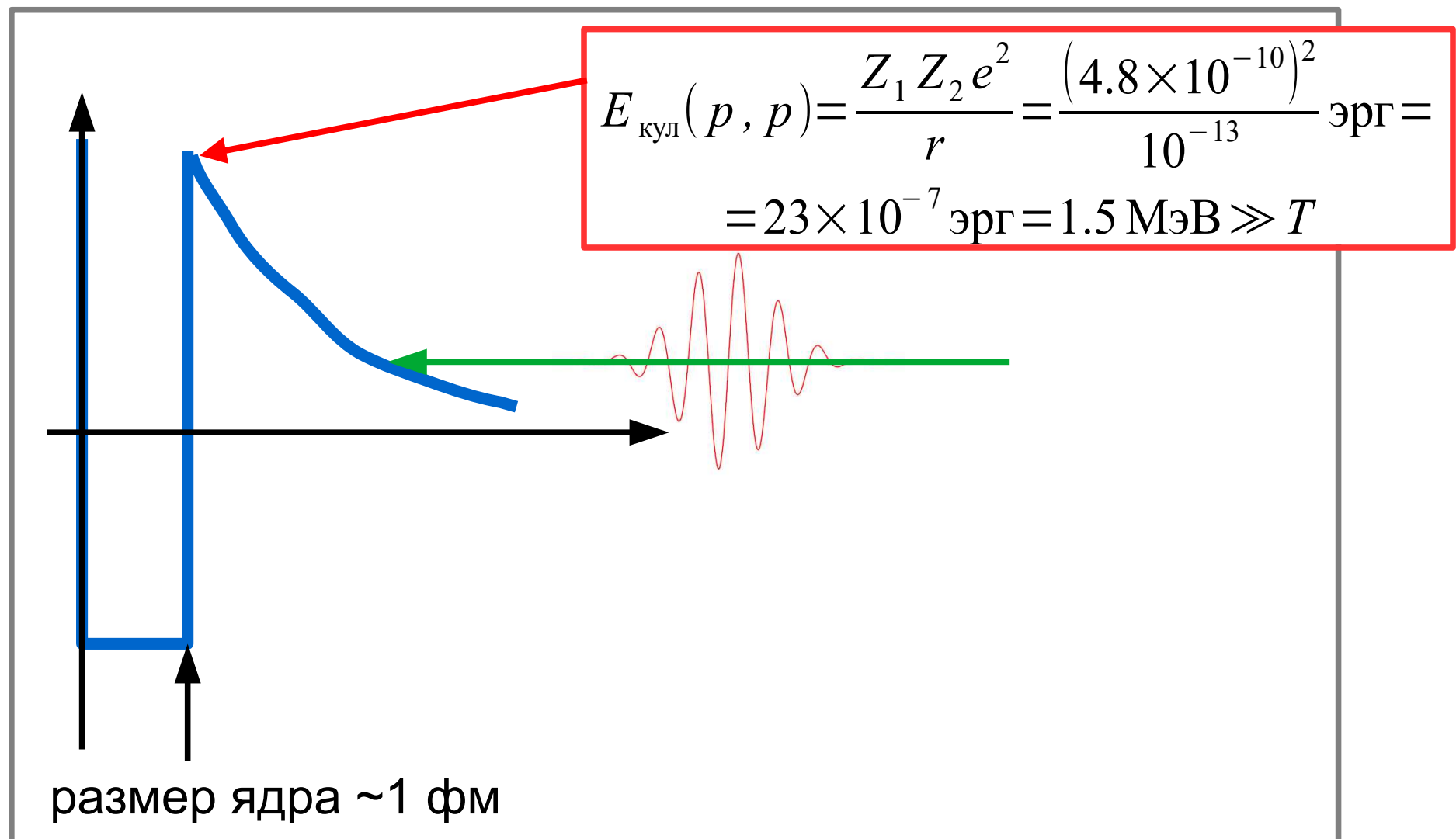
$$T_{\text{ядра}} \simeq 15 \times 10^6 \text{ К} \simeq 14 \text{ кэВ}$$

# Реакции ядерного синтеза: ТоКаМаK

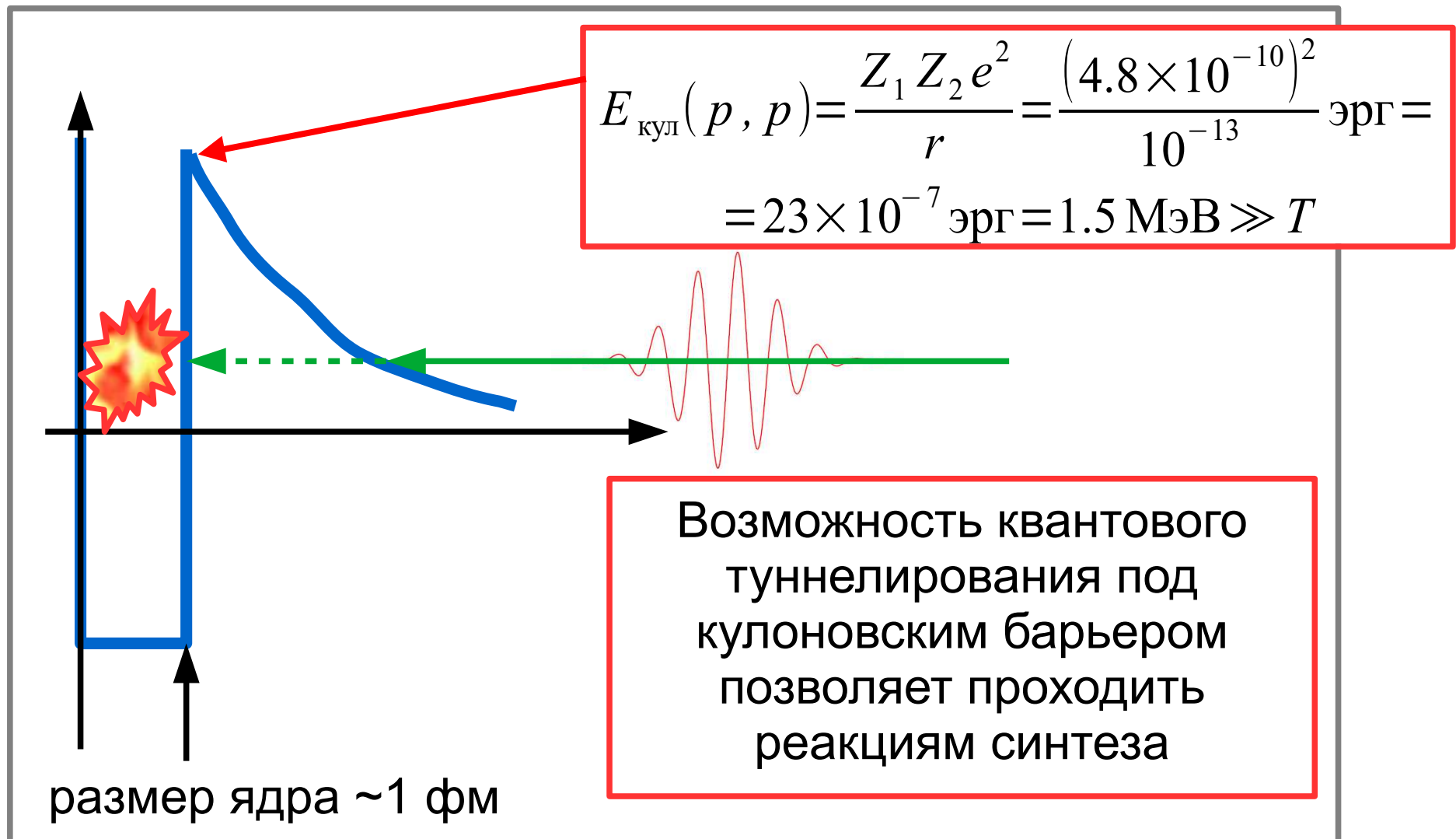


$$T_{\text{плазмы}} \simeq 150 \times 10^6 \text{ К} \simeq 140 \text{ кэВ}$$

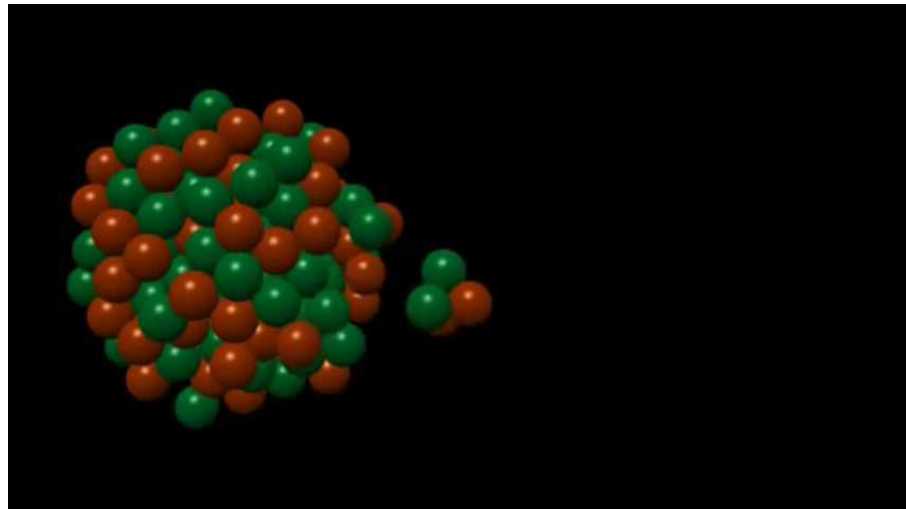
# Потенциал взаимодействия ядер при синтезе и туннельный эффект



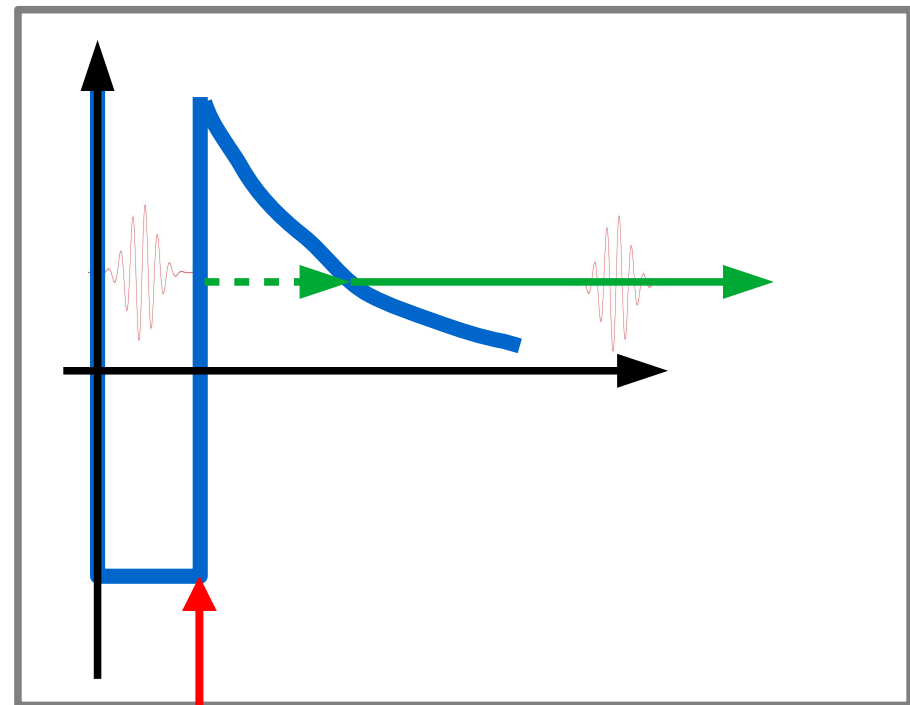
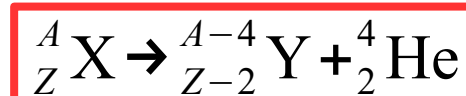
# Потенциал взаимодействия ядер при синтезе и туннельный эффект



# Альфа-распад тяжелых ядер

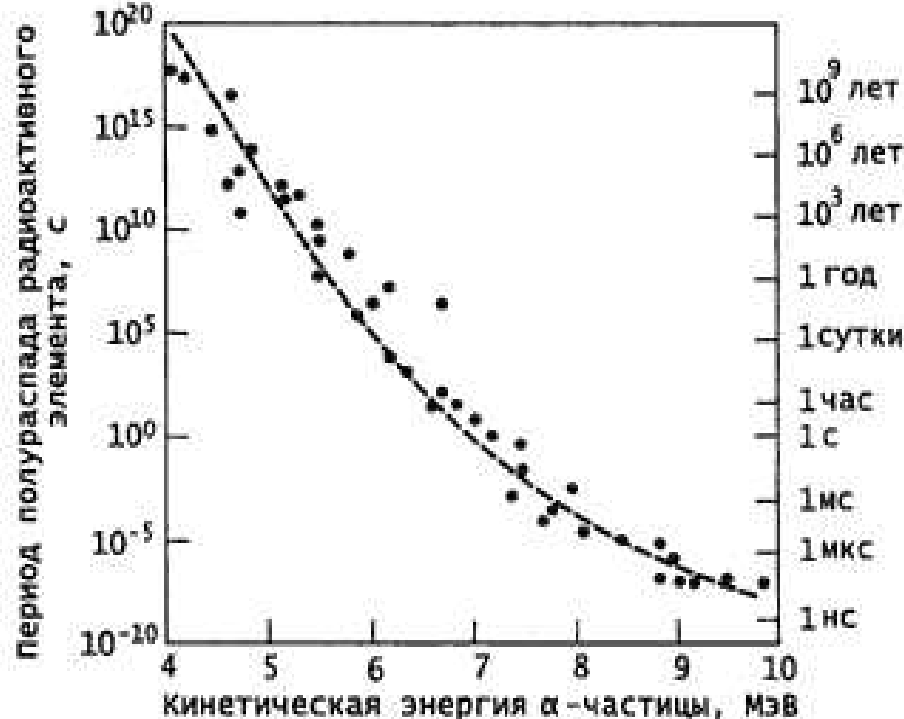


<https://gfycat.com/darlingskinnyarieltoucan>

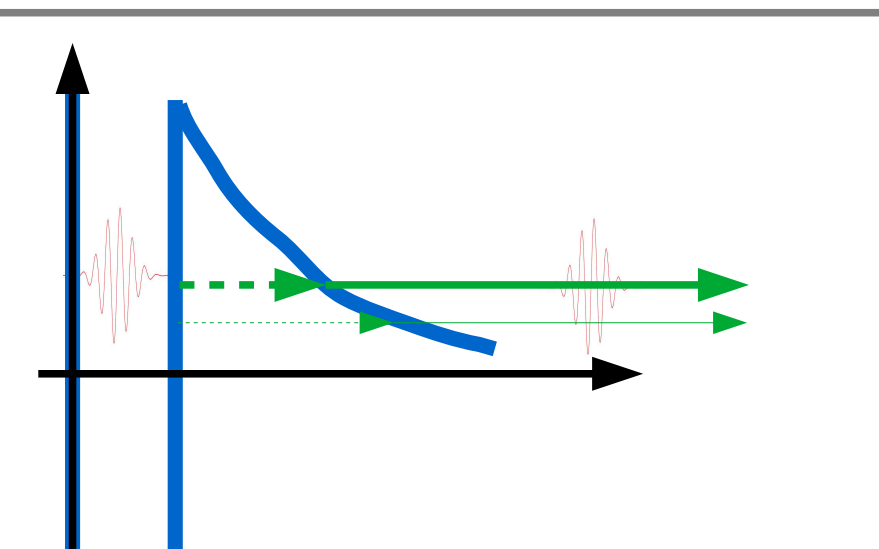


$$E_{\text{кул}} = \frac{Z_1 Z_2 e^2}{r} \sim 100 \dots 200 \text{ МэВ} \gg E_{\alpha} \sim 1 \dots 10 \text{ МэВ}$$

# Альфа-распад тяжелых ядер

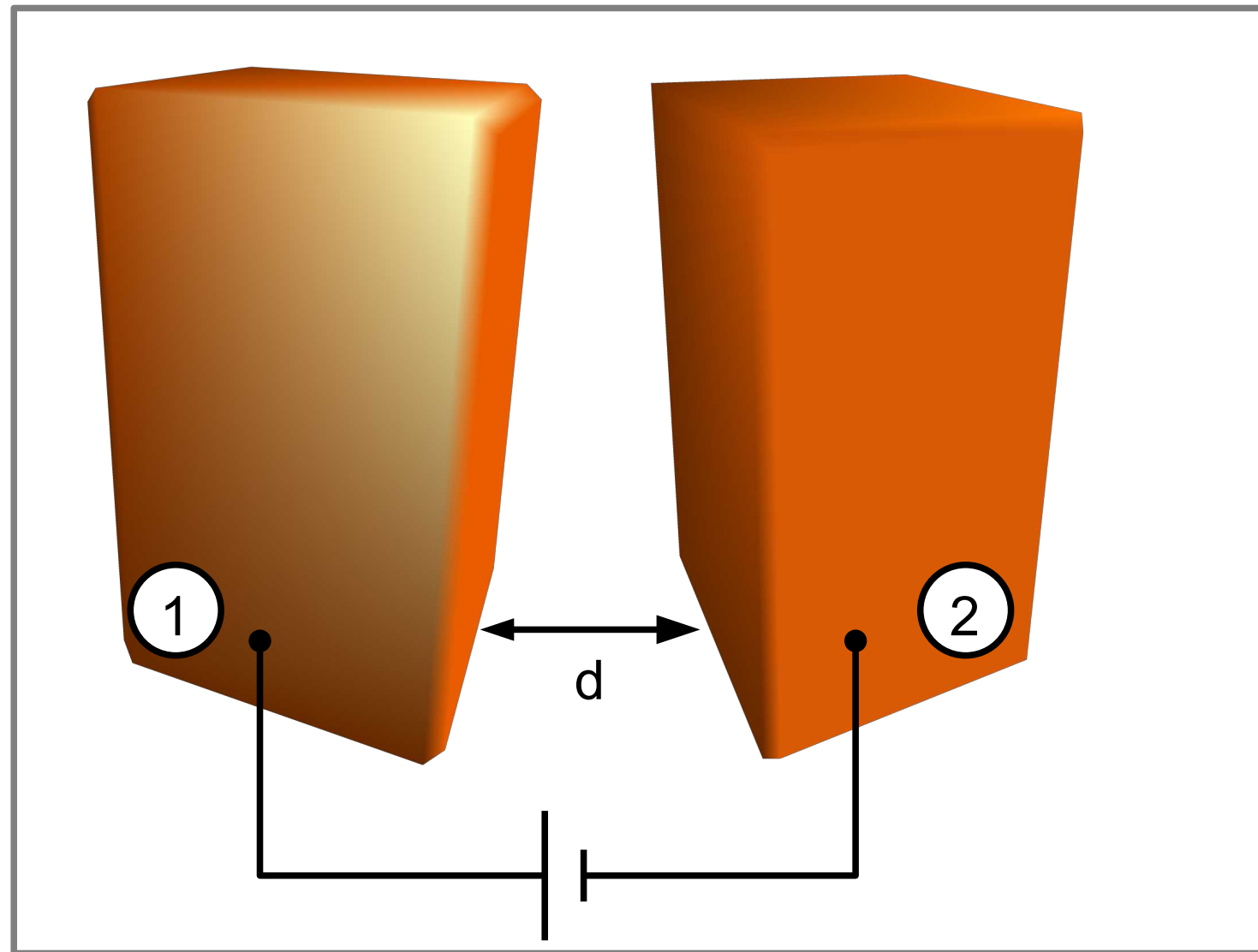


$$T \sim \exp \left( -2 \int_a^b \frac{\sqrt{2m(U(x) - E)}}{\hbar} dx \right)$$

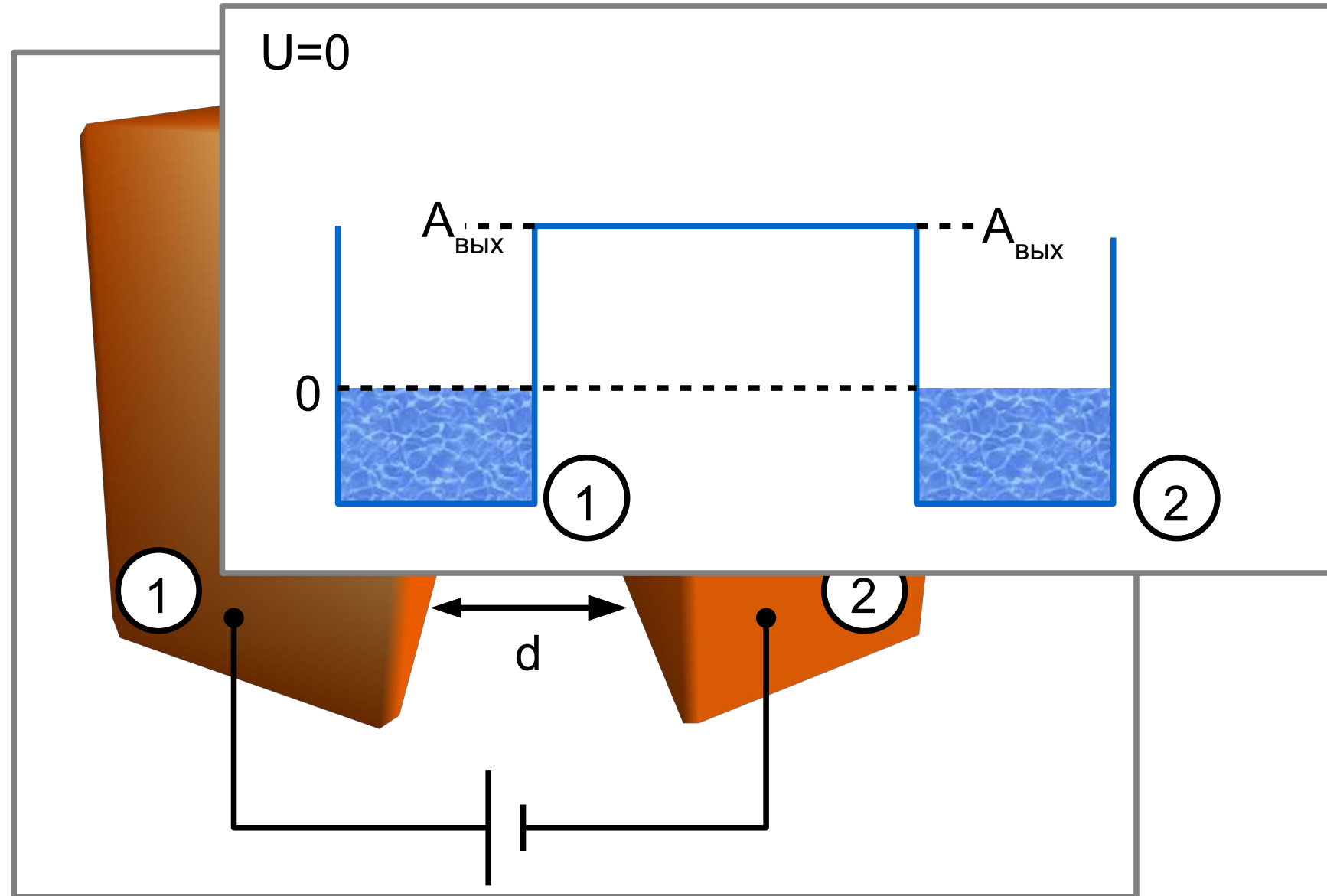


С понижением энергии альфа-частиц  
растет ширина запрещенной области и  
высота барьера — уменьшается  
вероятность прохождения и растет  
период полураспада

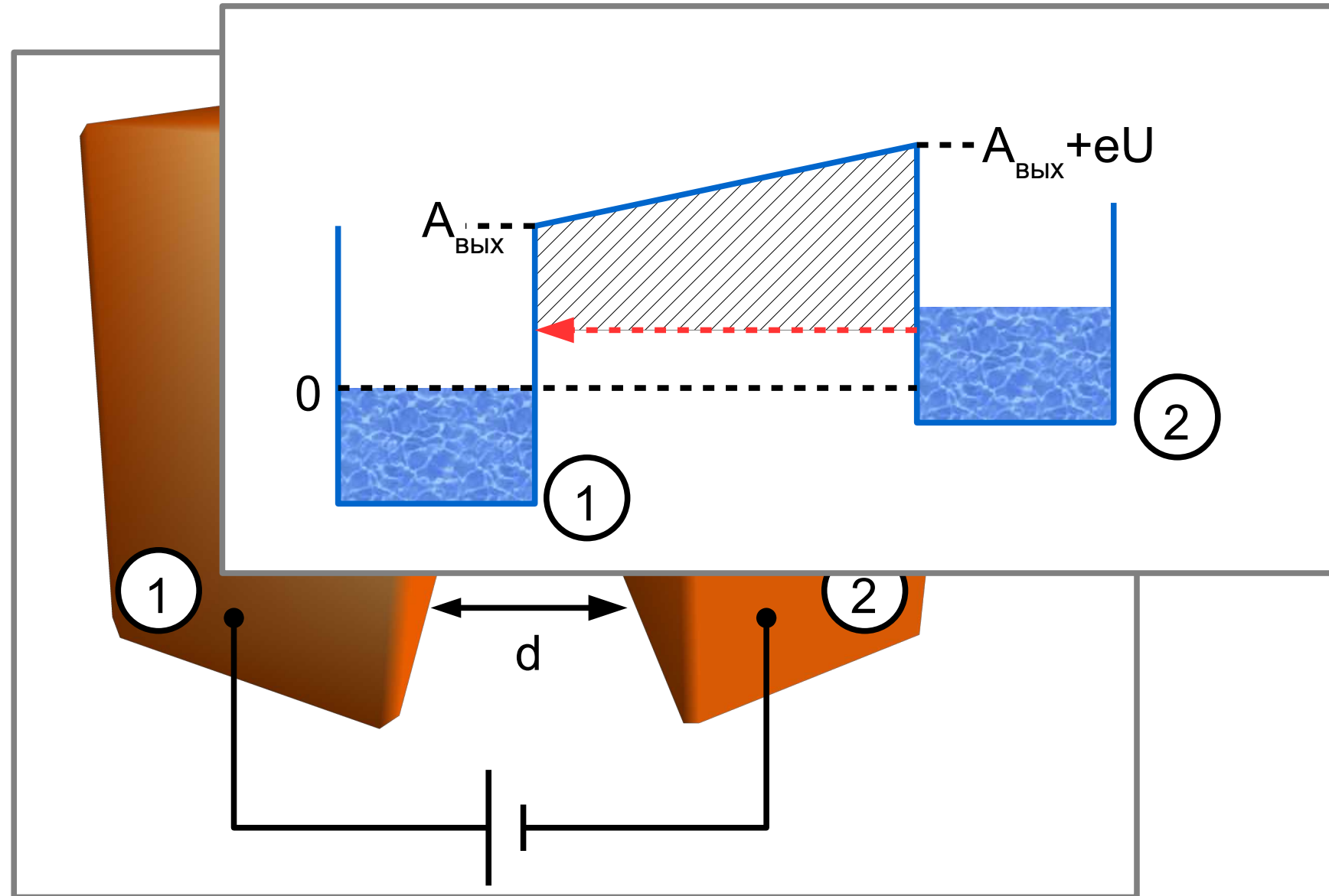
# Туннелирование электронов между проводниками и туннельный микроскоп



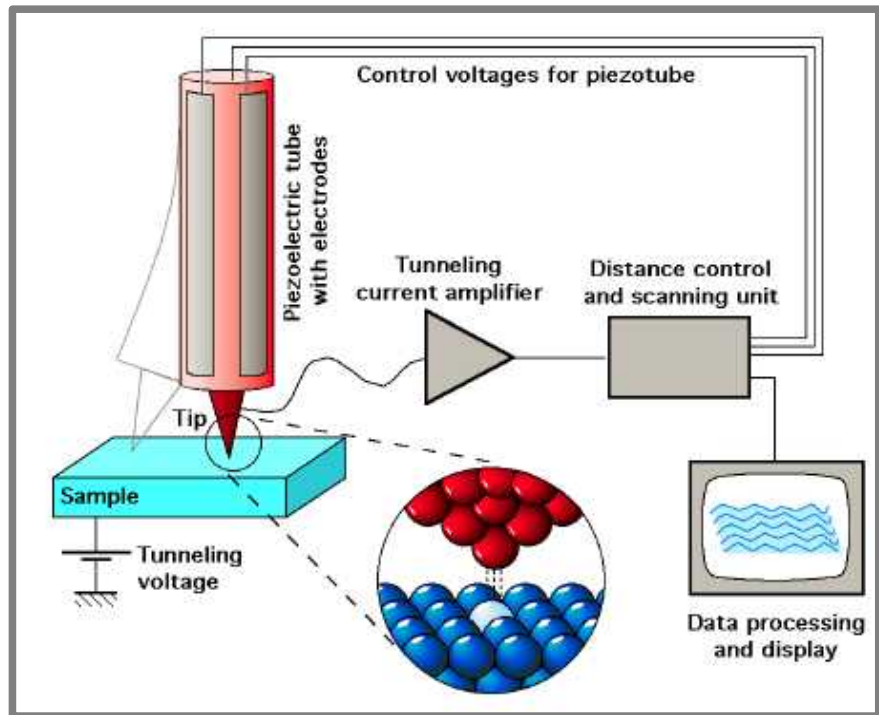
# Туннелирование электронов между проводниками и туннельный микроскоп



# Туннелирование электронов между проводниками и туннельный микроскоп

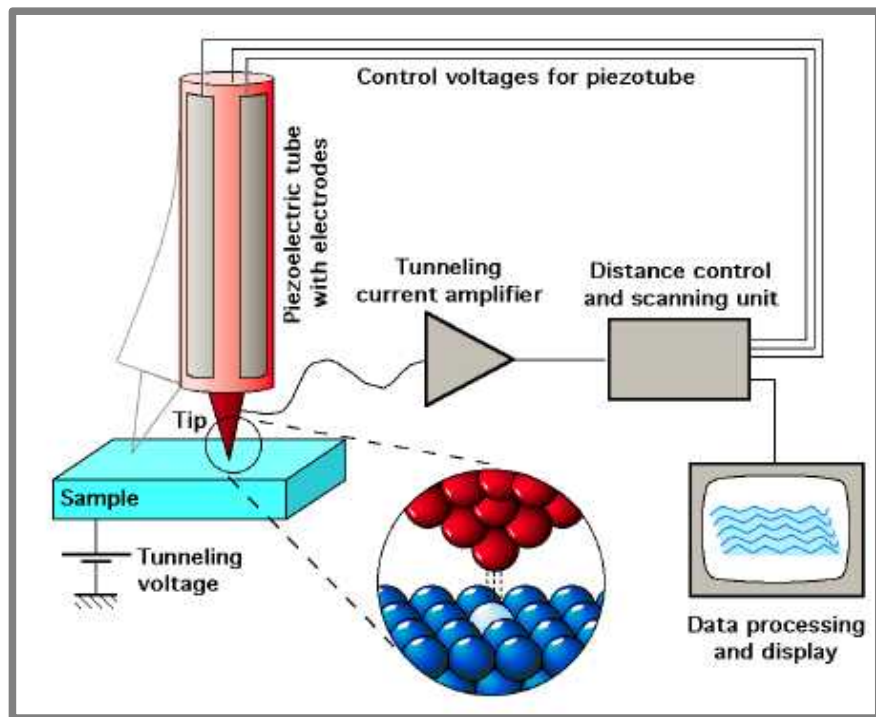


# Туннельный микроскоп

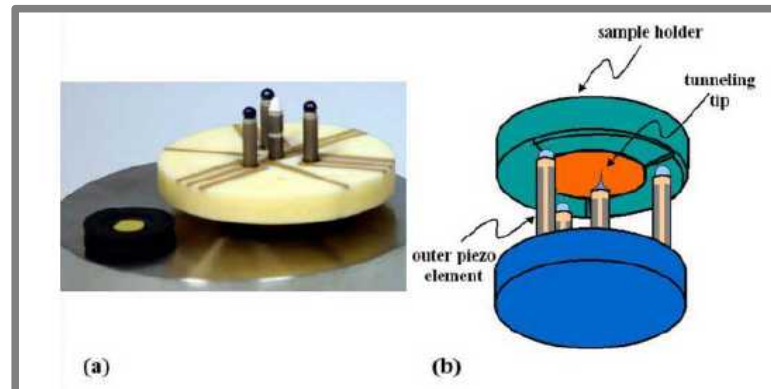


Википедия, Сканирующий туннельный микроскоп,  
[http://en.wikipedia.org/wiki/Scanning\\_tunneling\\_microscope](http://en.wikipedia.org/wiki/Scanning_tunneling_microscope)

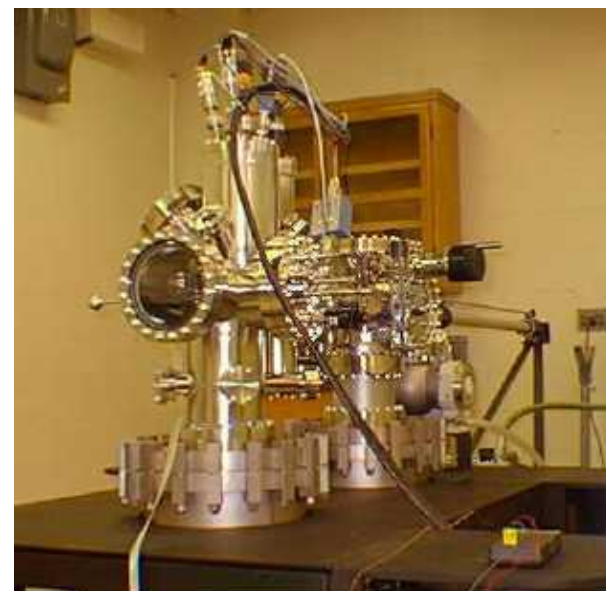
# Туннельный микроскоп



Википедия, Сканирующий туннельный микроскоп,  
[http://en.wikipedia.org/wiki/  
Scanning\\_tunneling\\_microscope](http://en.wikipedia.org/wiki/Scanning_tunneling_microscope)

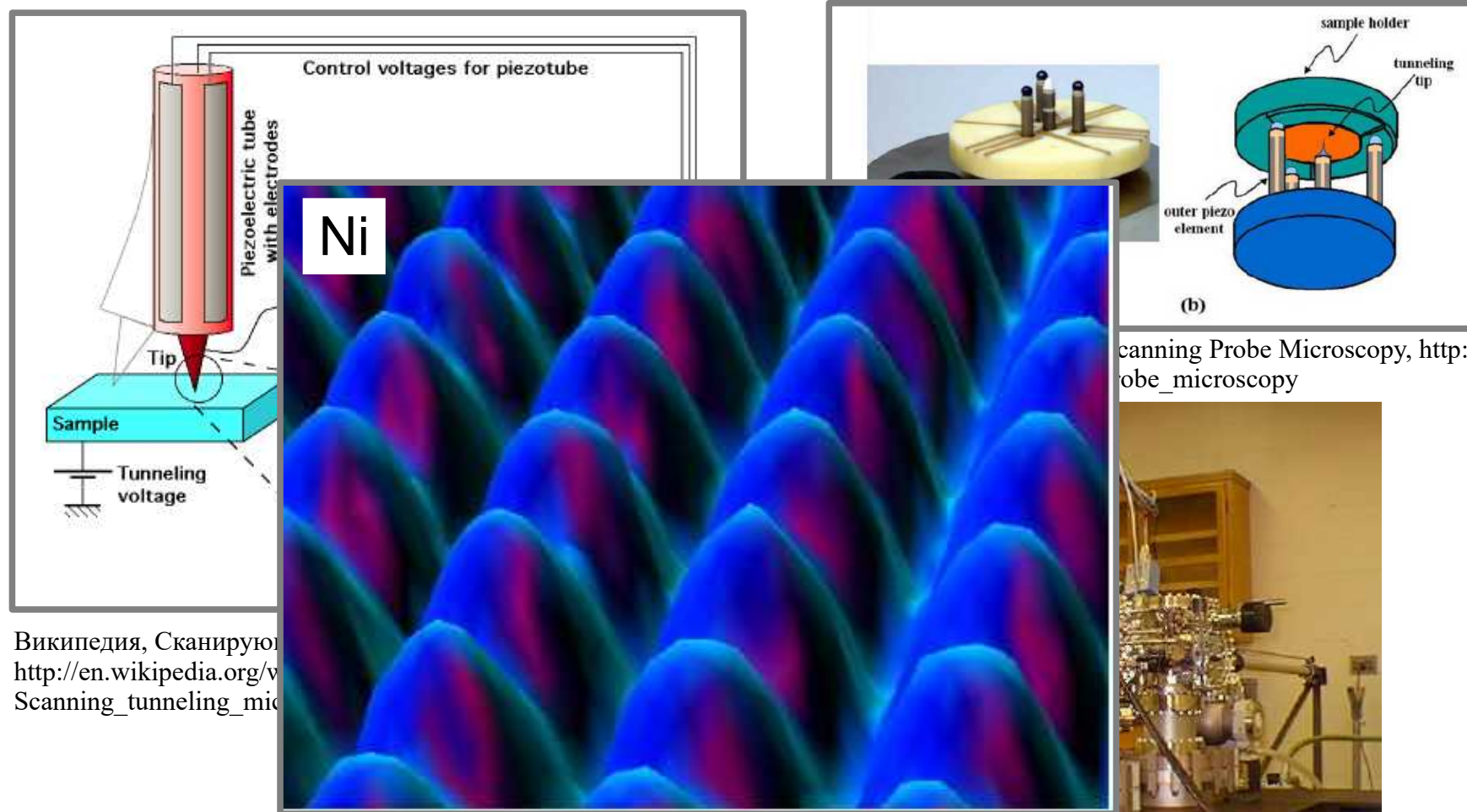


FZ Juelich, STM Group, Scanning Probe Microscopy, [http://www.fz-juelich.de/ibn/Scanning\\_probe\\_microscopy](http://www.fz-juelich.de/ibn/Scanning_probe_microscopy)



Wake Forest University, STM Group,  
<http://www.wfu.edu/nanotech/Microscopy%20Facility/STMInstructions.html>

# Туннельный микроскоп

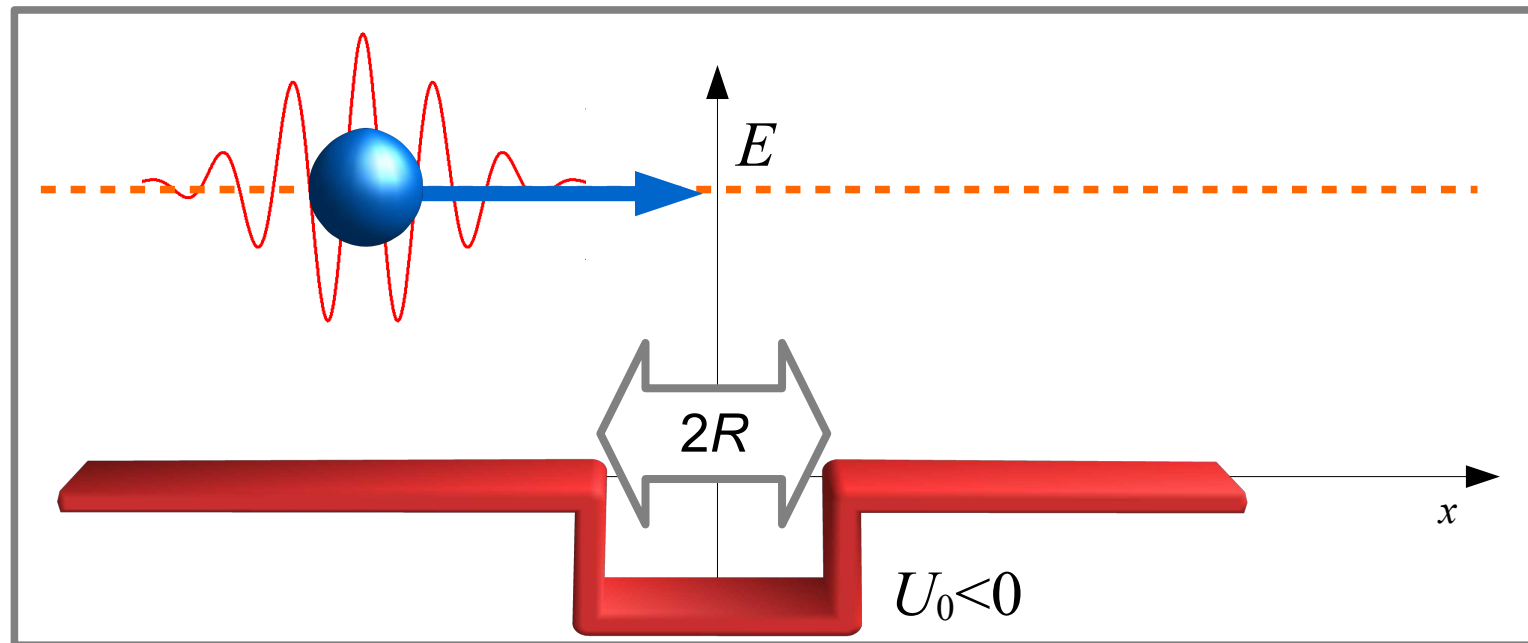


IBM Corp., STM Images Gallery,  
<http://www.almaden.ibm.com/vis/stm/gallery.html>

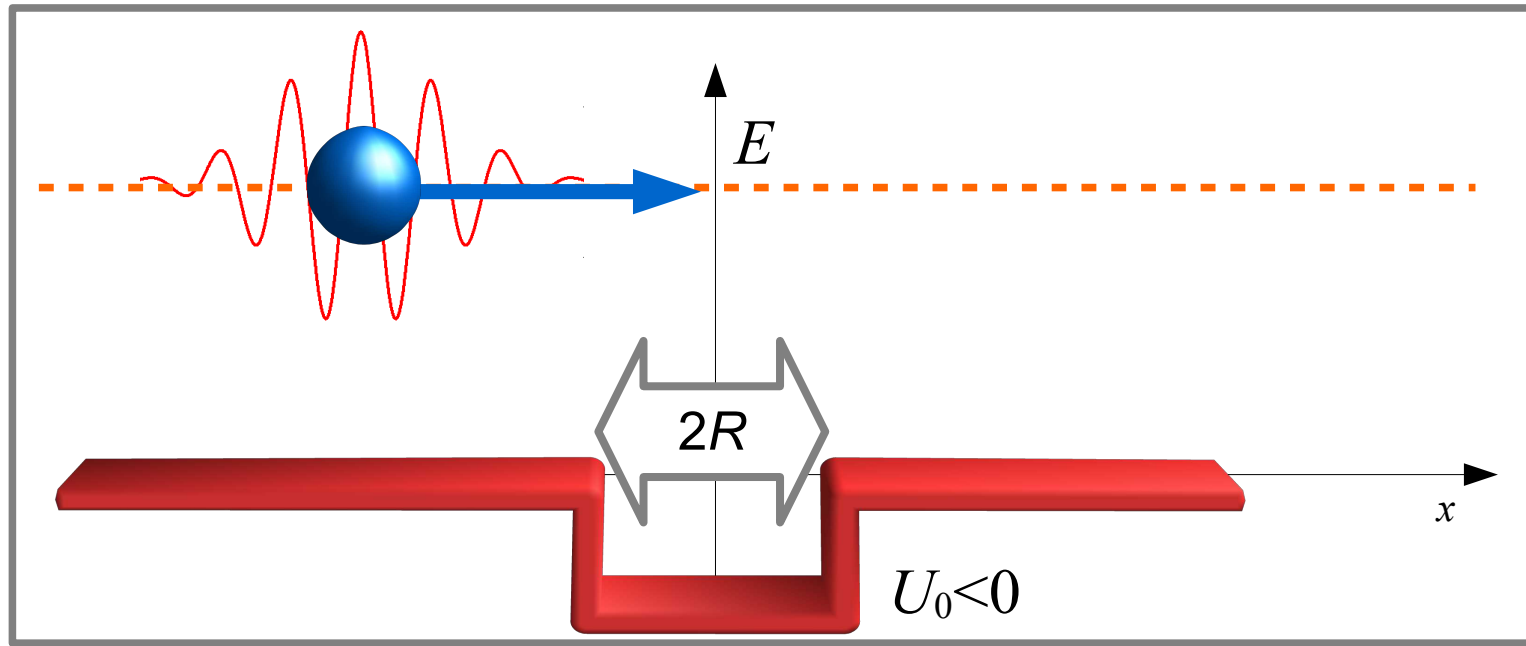
Wake Forest University, STM Group,  
<http://www.wfu.edu/nanotech/Microscopy%20Facility/STMInstructions.html>

# Часть 3. Потенциальные ямы

# Задача 1. Прохождение над ямой (эффект Рамзауэра)

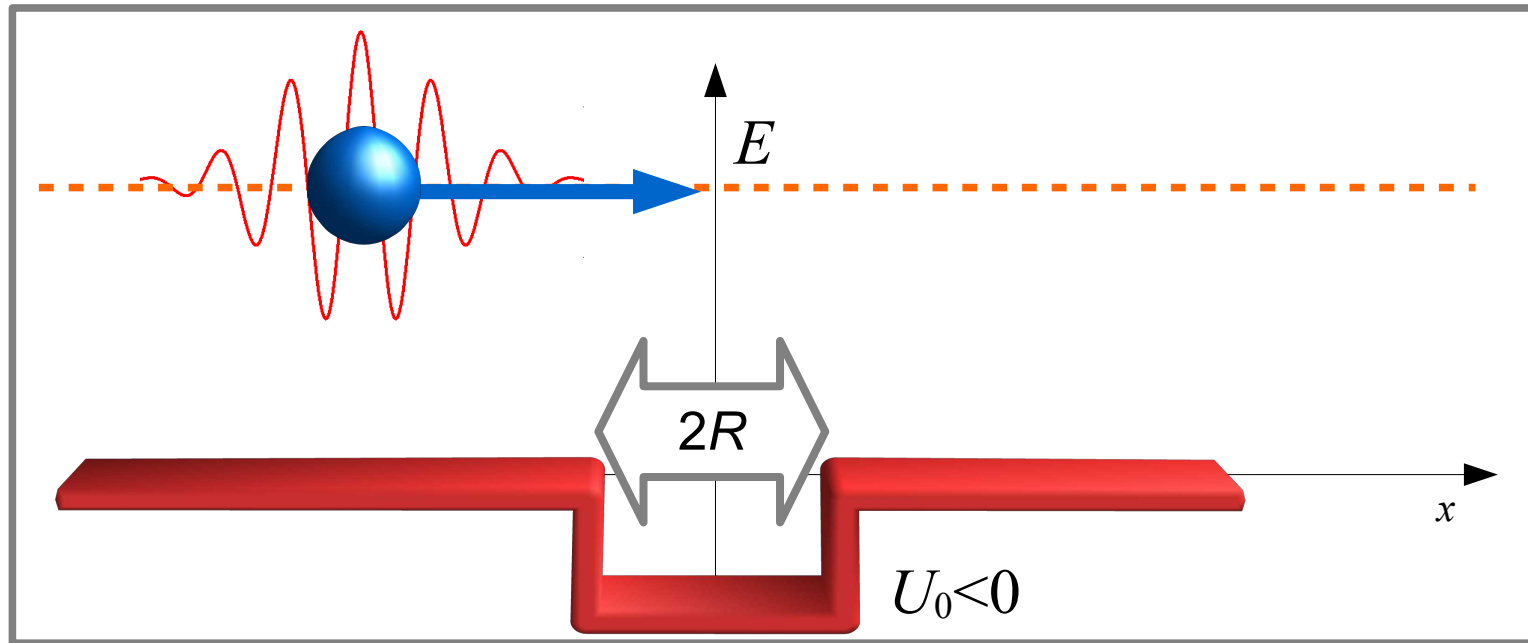


# Задача 1. Прохождение над ямой (эффект Рамзауэра)



$$T = \frac{1}{1 + \frac{U_0^2}{4E(E - U_0)} \sin^2(k' \times 2R)}$$

# Задача 1. Прохождение над ямой (эффект Рамзауэра)



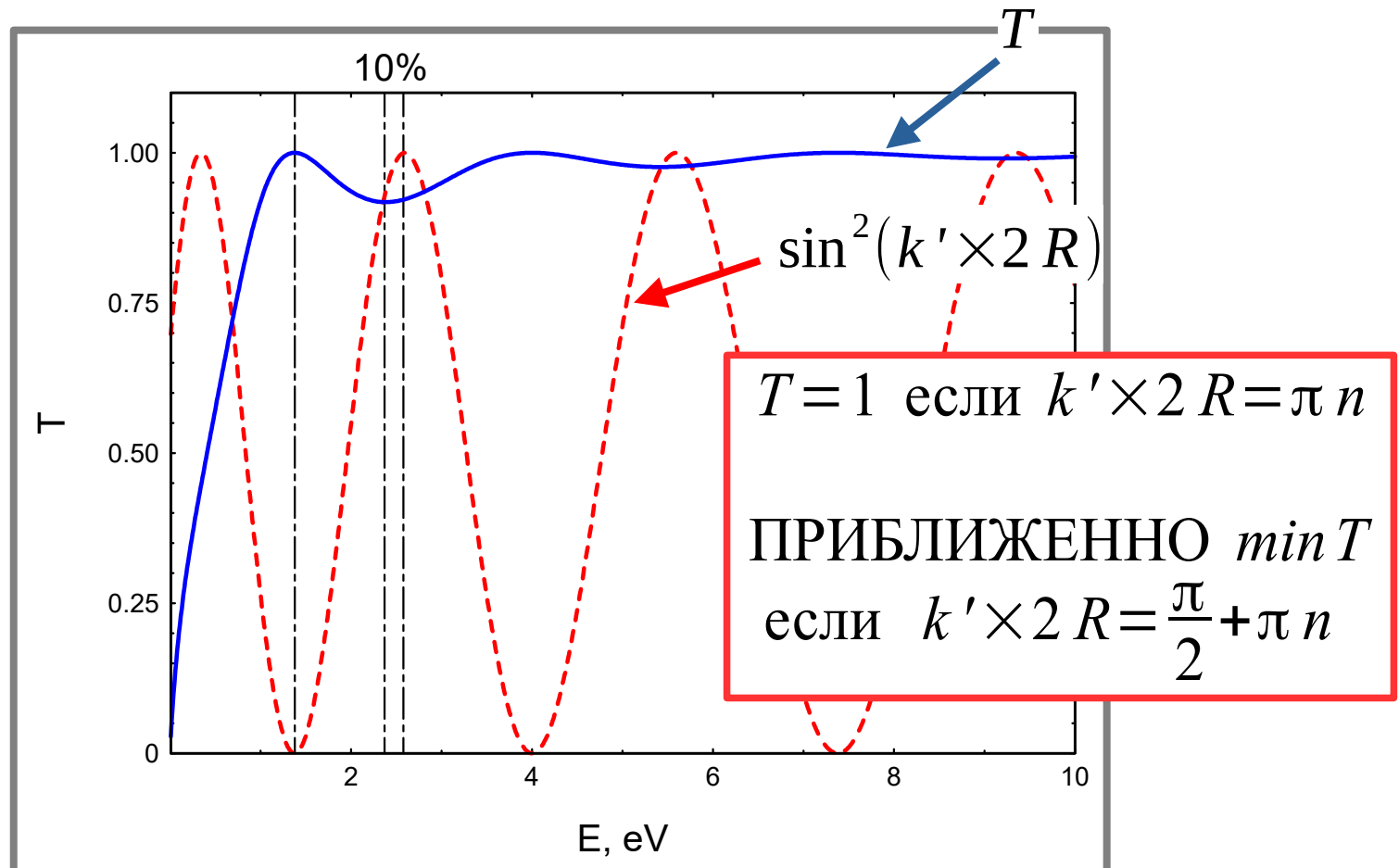
$$T = \frac{1}{1 + \frac{U_0^2}{4E(E - U_0)} \sin^2(k' \times 2R)}$$

$T = 1$  если  $k' \times 2R = \pi n$   
 $\min T$  если  $k' \times 2R = \frac{\pi}{2} + \pi n$

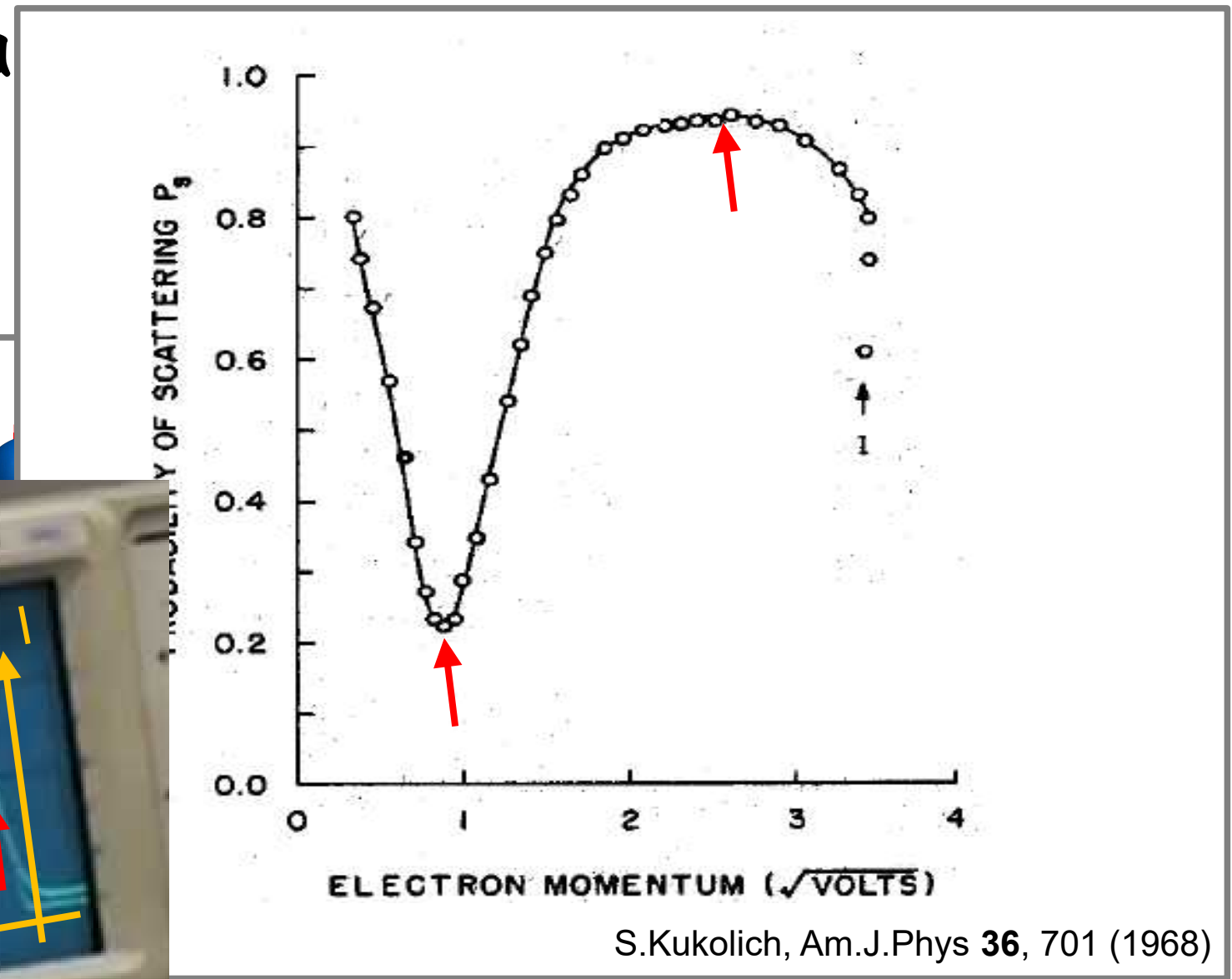
# Небольшое математическое уточнение...

$$T(E) = \frac{1}{1 + \frac{U_0^2}{4E(E+|U_0|)} \sin^2 \left( \frac{\sqrt{2m(E+|U_0|)}}{\hbar} \times 2R \right)}$$

$$2R = 5 \text{ \AA}$$
$$|U_0| = 2 \text{ эВ}$$



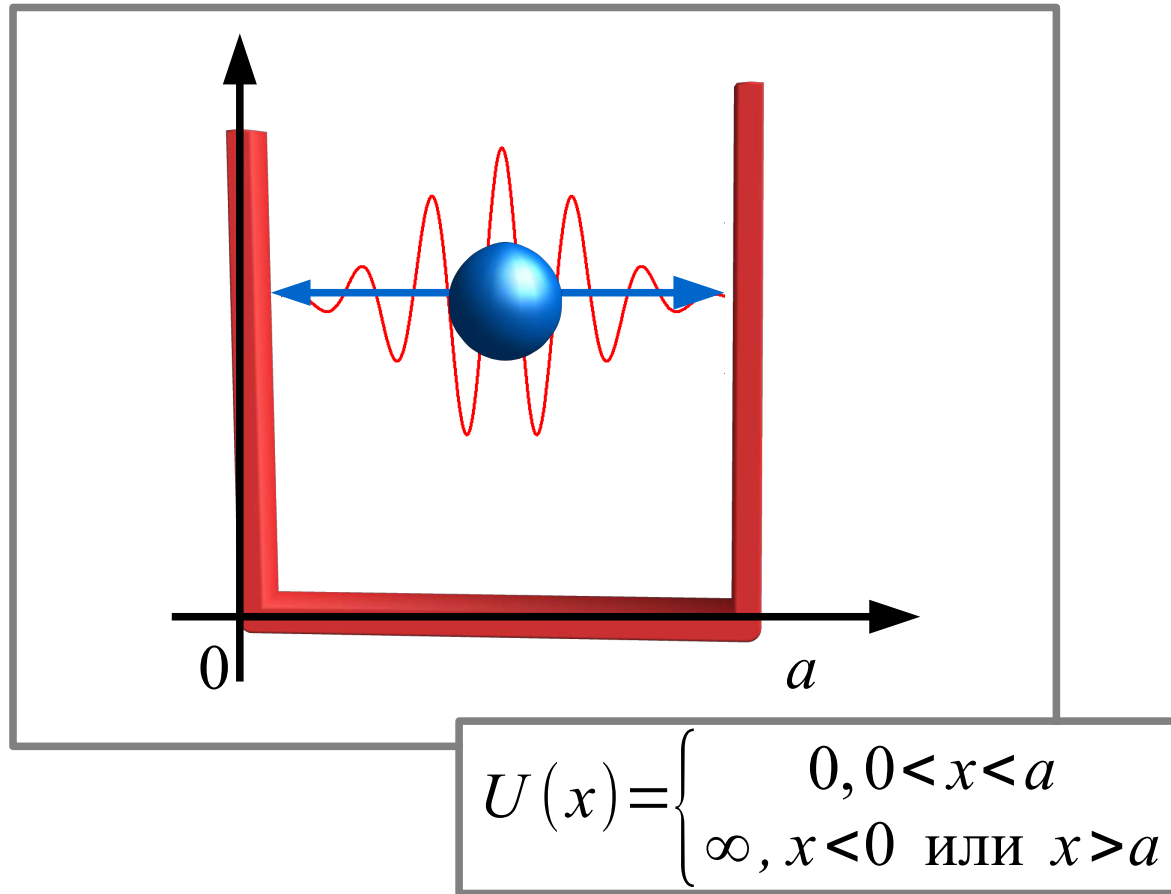
# Задача



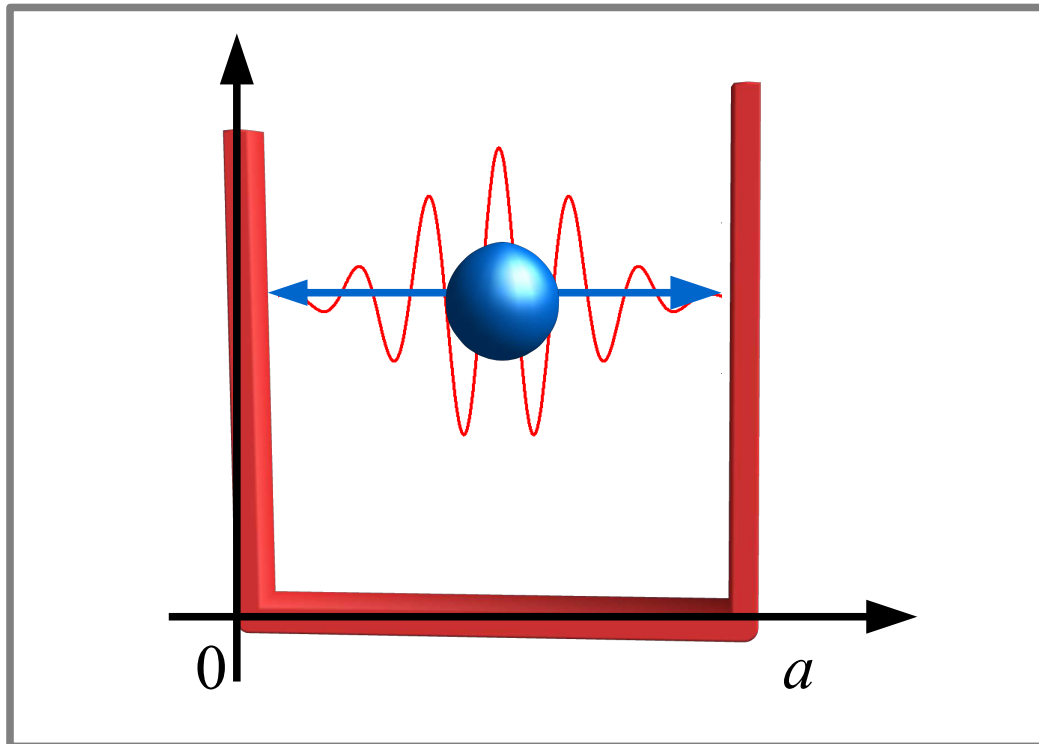
$$\sin^2(k' \times 2R)$$

$T = 1$  если  $k' \times 2R = \pi n$   
 $\min T$  если  $k' \times 2R = \frac{\pi}{2} + \pi n$

## Задача 2: Одномерная яма с бесконечными стенками

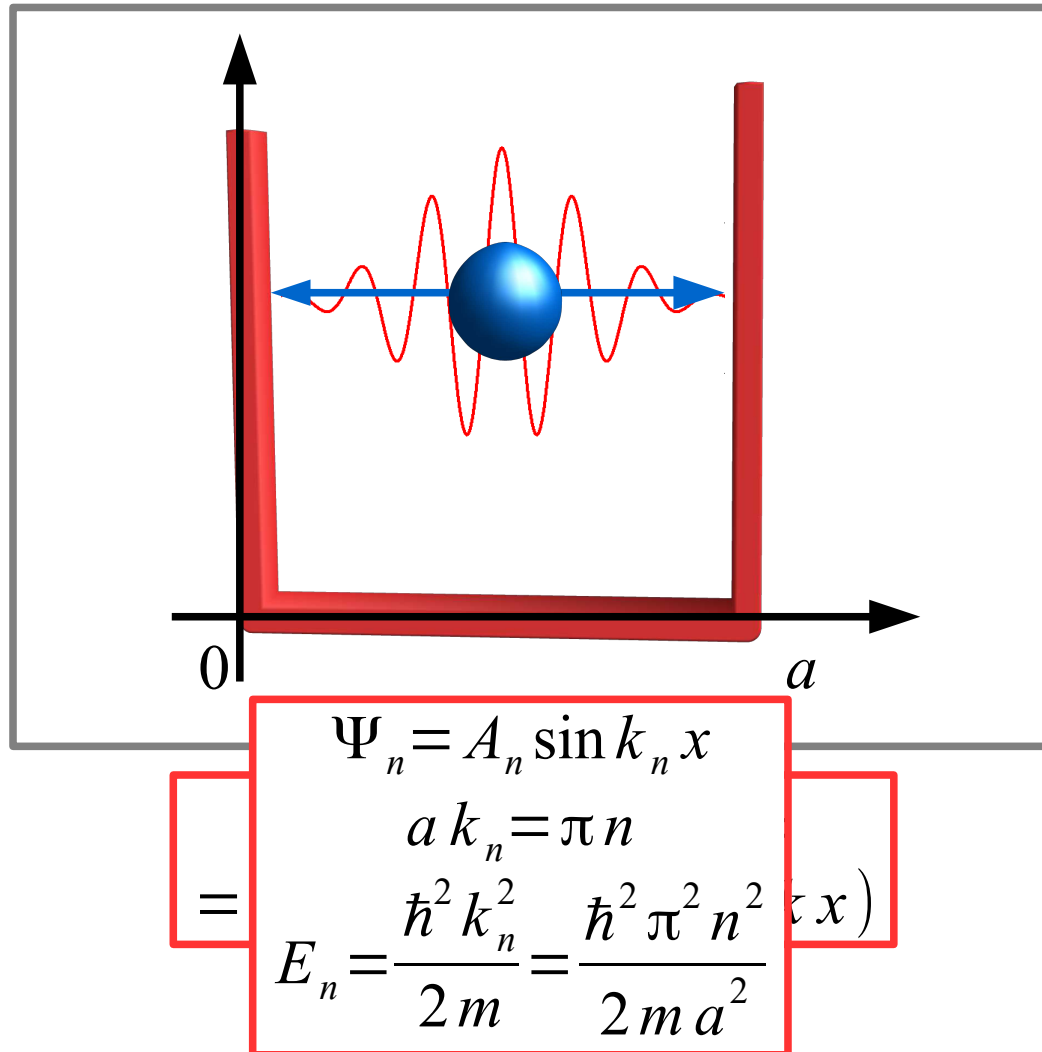


## Задача 2: Одномерная яма с бесконечными стенками

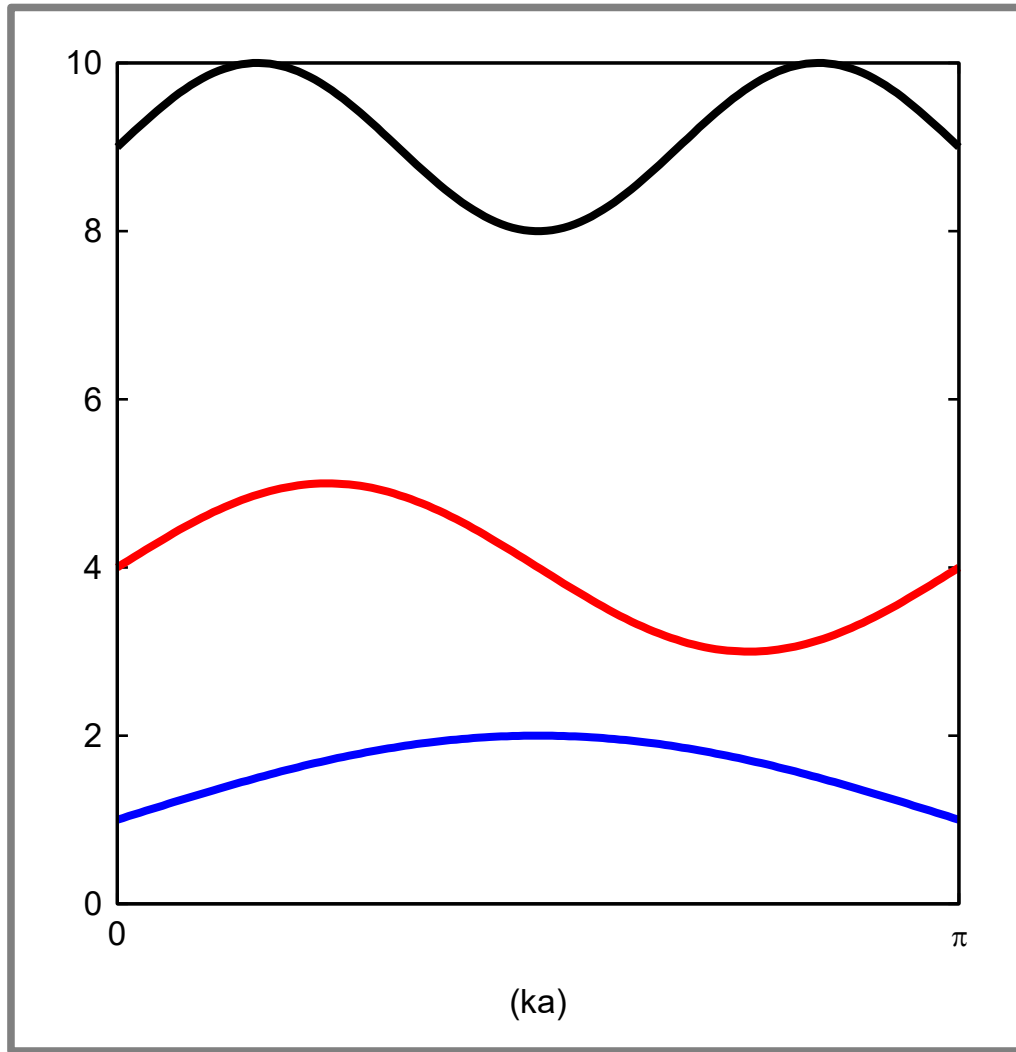


$$\begin{aligned}\Psi &= A e^{i k x} + B e^{-i k x} = \\ &= A' \sin(k x) + B' \cos(k x)\end{aligned}$$

## Задача 2: Одномерная яма с бесконечными стенками



# Общие свойства волновой функции в потенциальной яме



- В связанном состоянии имеются дискретные уровни энергии, маркируемые набором квантовых чисел
- в 1D число нулей волновой функции растет с ростом энергии

## Оптическая аналогия:

O

стоячие волны в резонаторах (для 1D — резонатор Фабри-Перо)

$L$

$x_0$

$x$

10

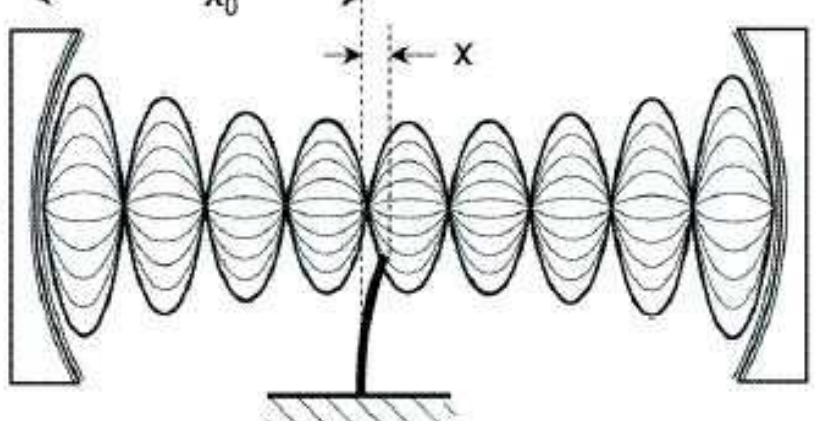
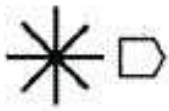
8

6

4

2

0



I Favero and K Karrai 2008 New J. Phys. 10 095006

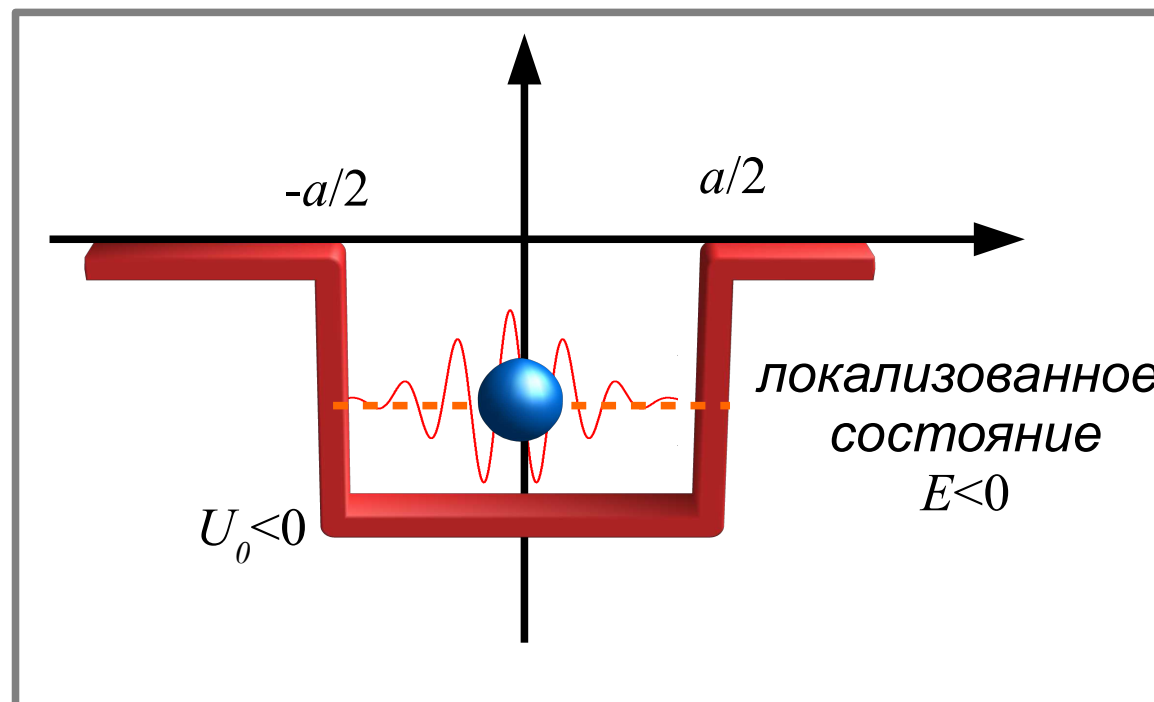
(ka)

— в 1D число нулей волновой функции растет с ростом энергии

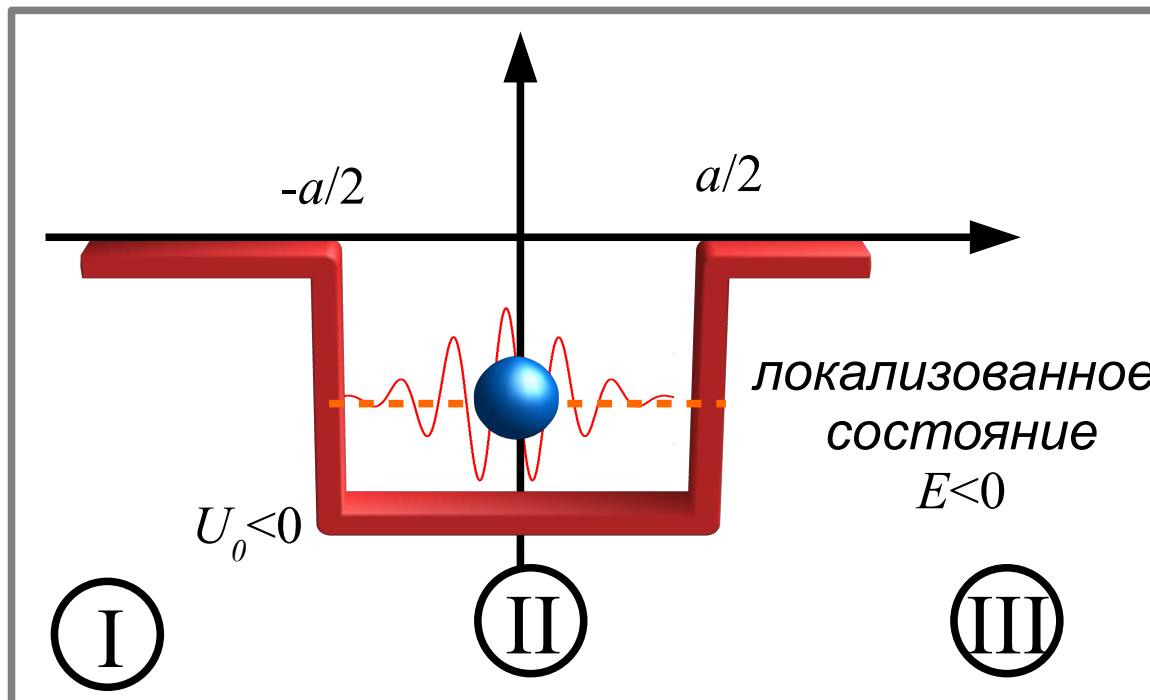
функции в  
е

анном состоянии  
ся дискретные  
и энергии,  
руемые набором  
вых чисел

# Задача 3: Симметричная одномерная яма конечной глубины

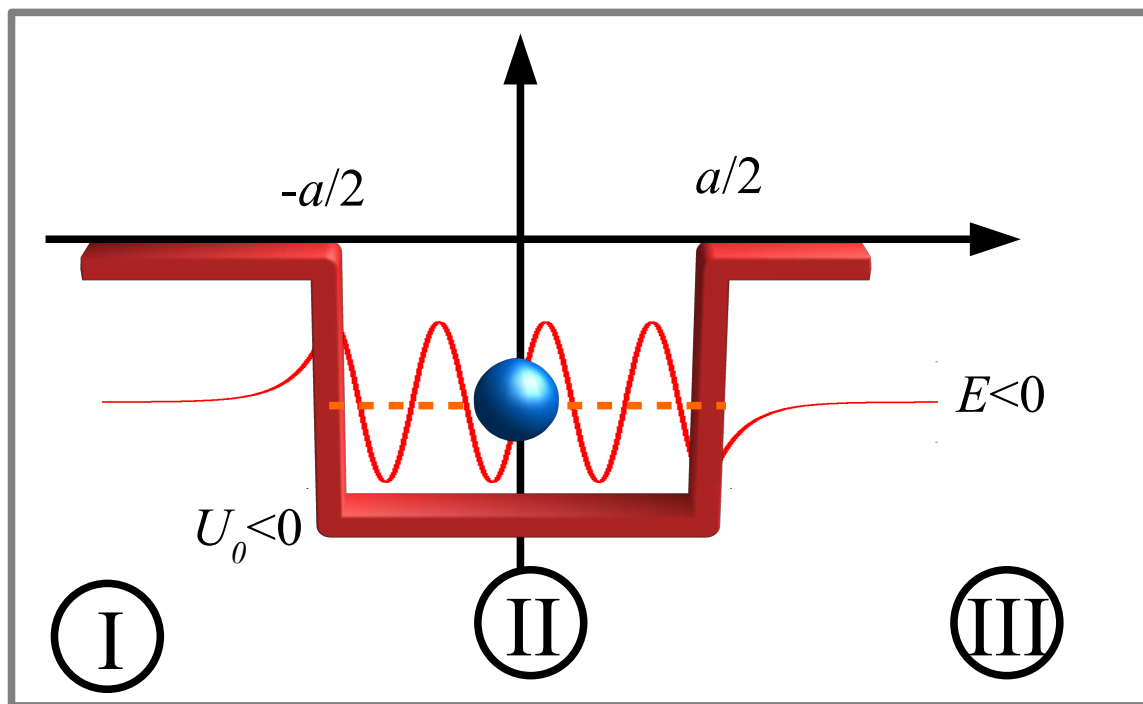


# Задача 3: Симметричная одномерная яма конечной глубины



$$\frac{\hbar^2}{2m} \frac{\partial^2}{\partial x^2} \Psi + (E - U(x)) \Psi = 0$$

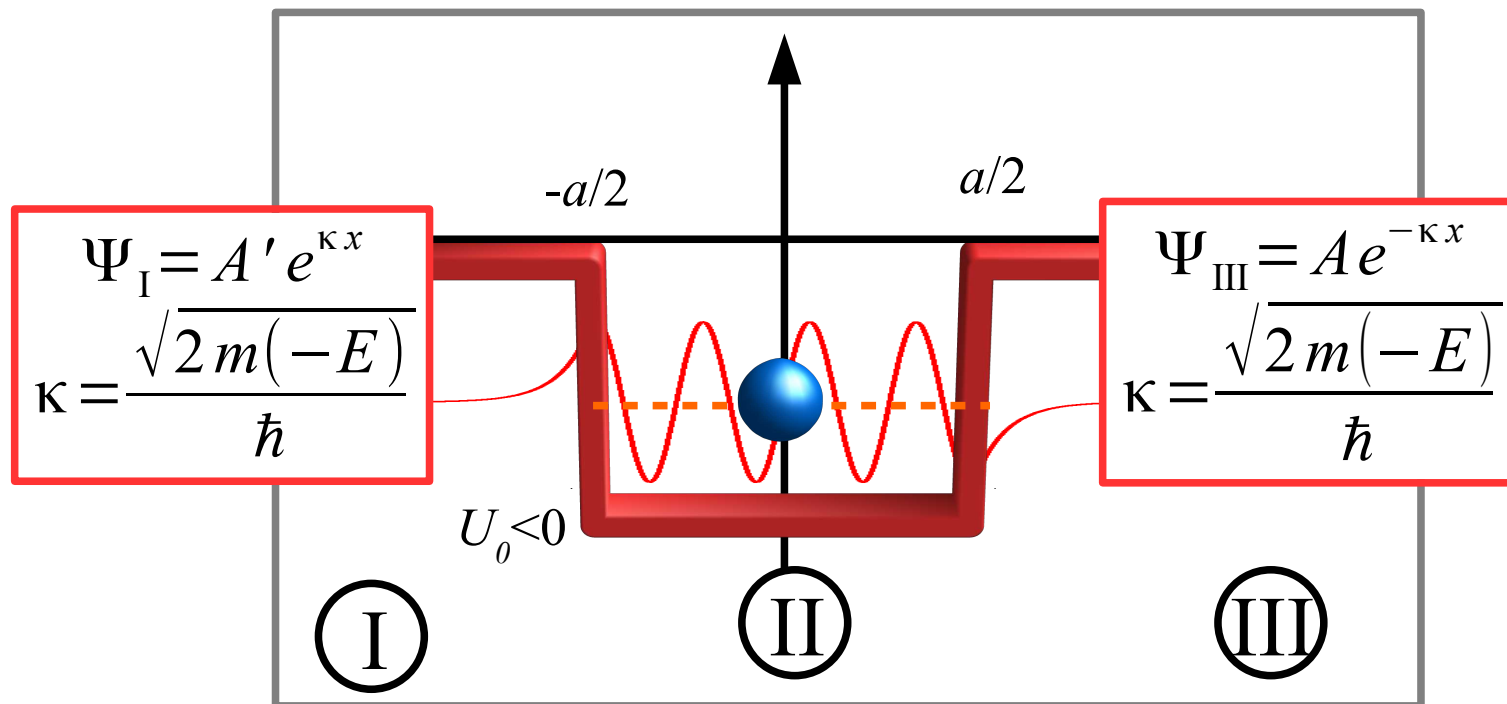
# Задача 3: Симметричная одномерная яма конечной глубины



$$\Psi_{\text{II}} = B_1 \sin(kx) \text{ или } B_2 \cos(kx)$$

$$k = \frac{\sqrt{2m(E - U_0)}}{\hbar}$$

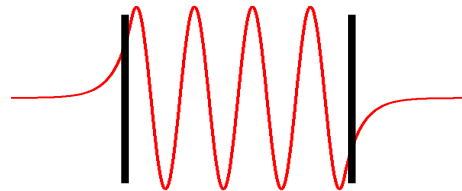
# Задача 3: Симметричная одномерная яма конечной глубины



$$\Psi_{II} = B_1 \sin(kx) \text{ или } B_2 \cos(kx)$$
$$k = \frac{\sqrt{2m(E - U_0)}}{\hbar}$$

# «Сшивка» решений

решения типа SIN



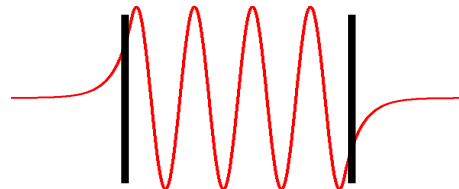
$$\begin{cases} \sin(k a/2) = A e^{-\kappa a/2} \\ k \cos(k a/2) = -\kappa A e^{-\kappa a/2} \end{cases}$$

$$\tg \frac{k a}{2} = -\frac{k}{\kappa}$$

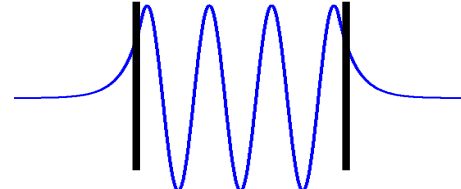
$$k^2 + \kappa^2 = \frac{2m|U_0|}{\hbar^2} \rightarrow \kappa = \sqrt{\frac{2m|U_0|}{\hbar^2} - k^2}$$

# «Сшивка» решений

решения типа SIN



решения типа COS



$$\begin{cases} \sin(ka/2) = A e^{-\kappa a/2} \\ k \cos(ka/2) = -\kappa A e^{-\kappa a/2} \end{cases}$$

$$\begin{cases} \cos(ka/2) = A e^{-\kappa a/2} \\ -k \sin(ka/2) = -\kappa A e^{-\kappa a/2} \end{cases}$$

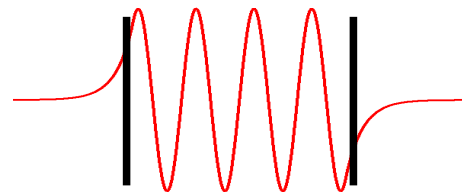
$$\tg \frac{ka}{2} = -\frac{k}{\kappa}$$

$$\tg \frac{ka}{2} = \frac{\kappa}{k}$$

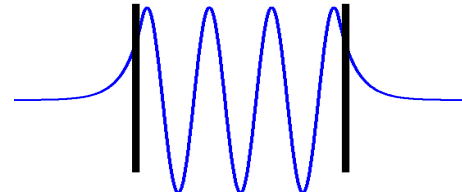
$$k^2 + \kappa^2 = \frac{2m|U_0|}{\hbar^2} \rightarrow \kappa = \sqrt{\frac{2m|U_0|}{\hbar^2} - k^2}$$

# «Сшивка» решений

решения типа SIN



решения типа COS



$$\operatorname{tg} \frac{k a}{2} = -\frac{k}{\kappa}$$

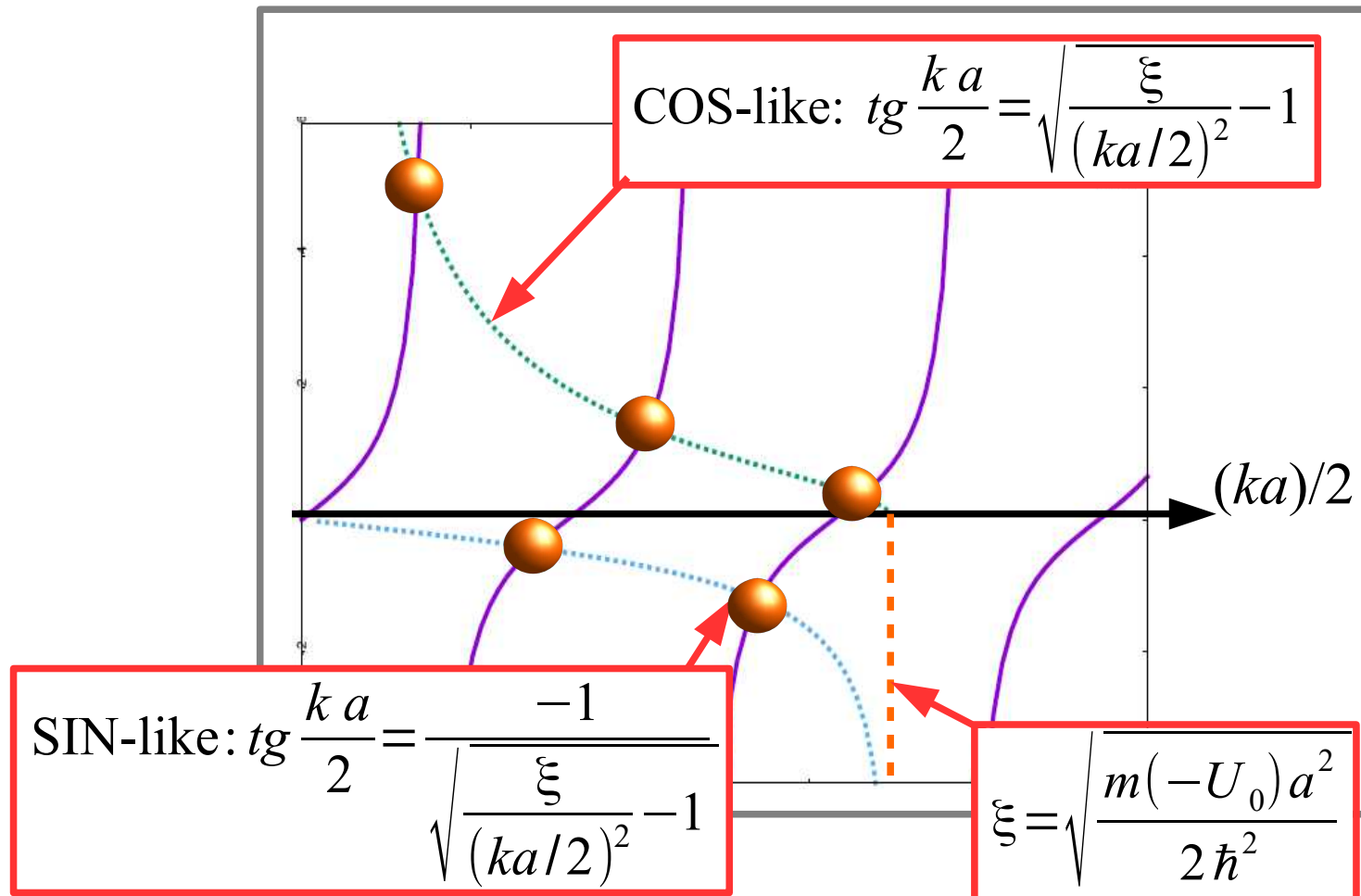
$$\operatorname{tg} \frac{k a}{2} = \frac{\kappa}{k}$$

$$\operatorname{tg} \frac{k a}{2} = \frac{-k}{\sqrt{\frac{2m|U_0|}{\hbar^2} - k^2}} = \frac{-1}{\sqrt{\frac{\xi}{(ka/2)^2} - 1}}$$

$$\operatorname{tg} \frac{k a}{2} = \frac{\sqrt{\frac{2m|U_0|}{\hbar^2} - k^2}}{k} = \sqrt{\frac{\xi}{(ka/2)^2} - 1}$$

$$\xi = \frac{m|U_0|a^2}{2\hbar^2}$$

# Уровни энергии для симметричной ямы



# Уровни энергии для с

- В прямоугольной яме конечной глубины — конечное число связанных состояний

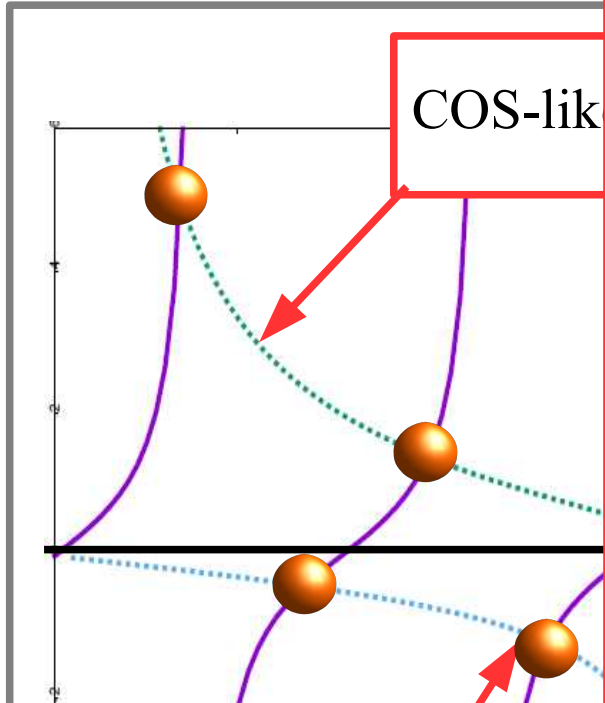
- В одномерном случае связанное состояние есть всегда

- В достаточно мелкой яме — единственное связанное состояние при

$$\sqrt{\frac{m(-U_0)a^2}{2\hbar^2}} < \frac{\pi}{2}$$

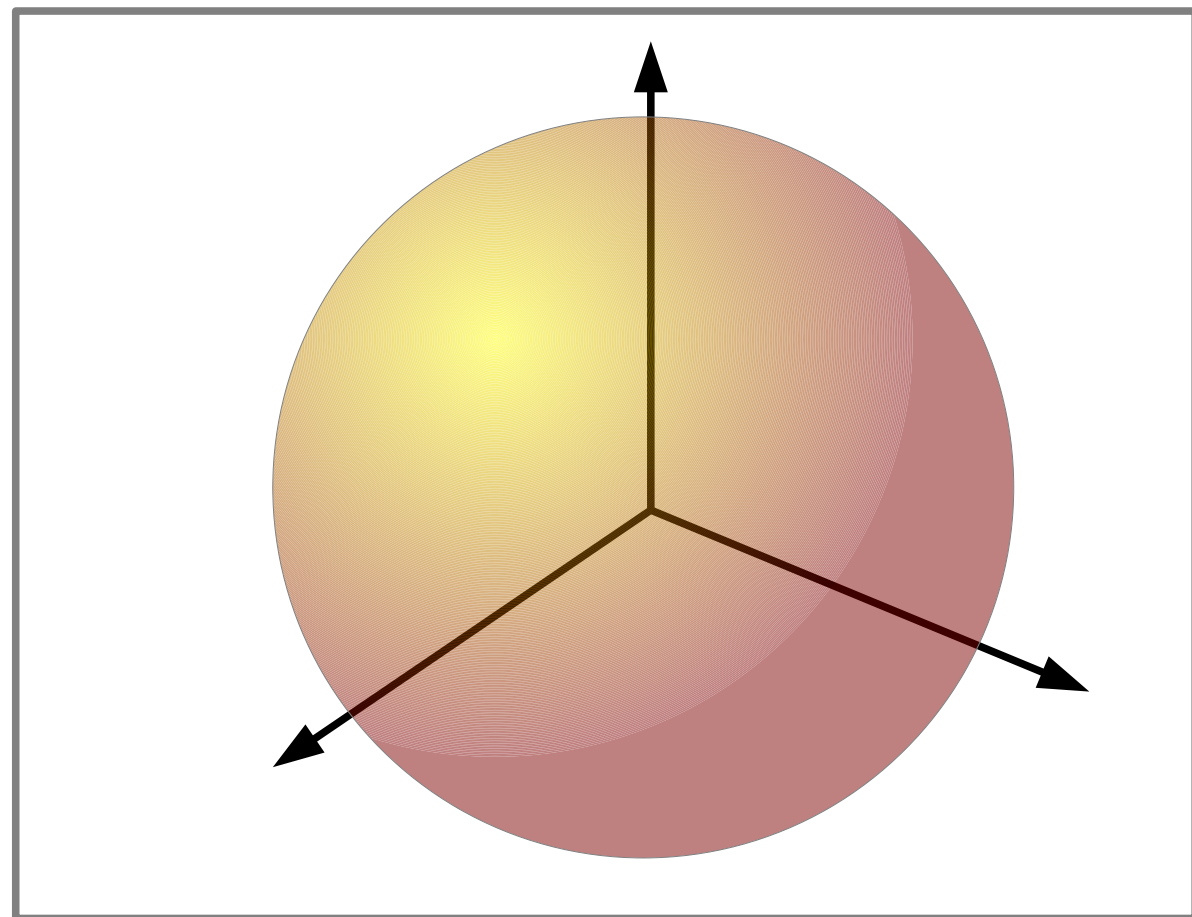
SIN-like:  $\operatorname{tg} \frac{ka}{2} = \frac{-1}{\sqrt{\frac{\xi}{(ka/2)^2} - 1}}$

$$\xi = \sqrt{\frac{2\hbar^2}{m(-U_0)a^2}}$$



# Бонус: Сферическая прямоугольная потенциальная яма

$$U(r) = \begin{cases} U_0, & r < R (U_0 < 0) \\ 0, & r > R \end{cases}$$

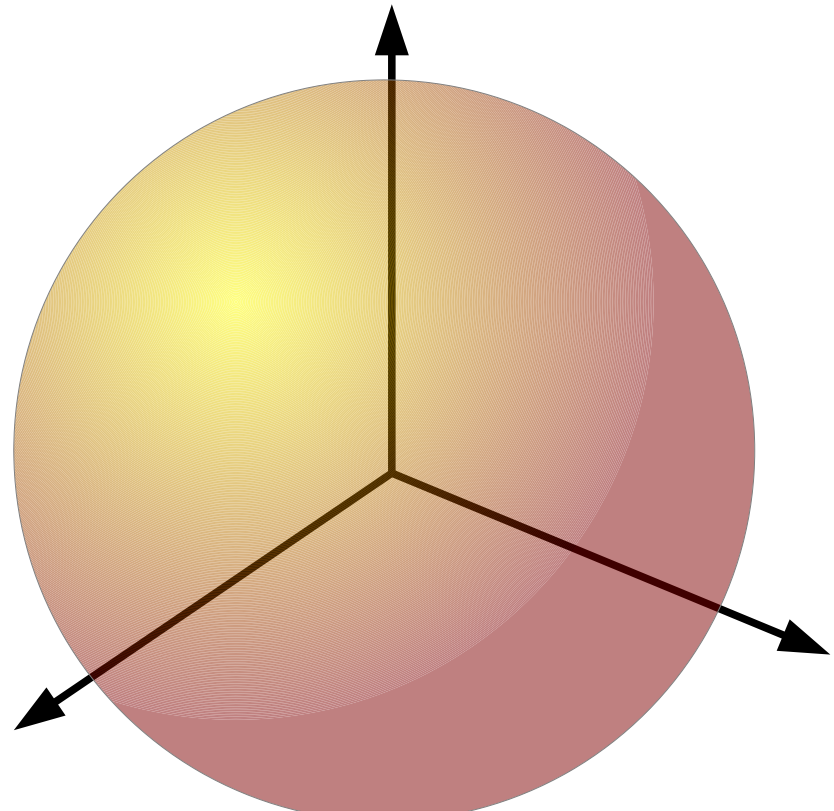


# Бонус: Сферическая прямоугольная потенциальная яма

$$U(r) = \begin{cases} U_0, & r < R (U_0 < 0) \\ 0, & r > R \end{cases}$$

$$-\frac{\hbar^2}{2m} \Delta \Psi + U(r) \Psi = E \Psi$$

$$\Delta \Psi (\text{только } r!) = \frac{1}{r^2} \frac{\partial}{\partial r} \left( r^2 \frac{\partial \Psi}{\partial r} \right)$$



# Бонус: Сферическая прямоугольная потенциальная яма

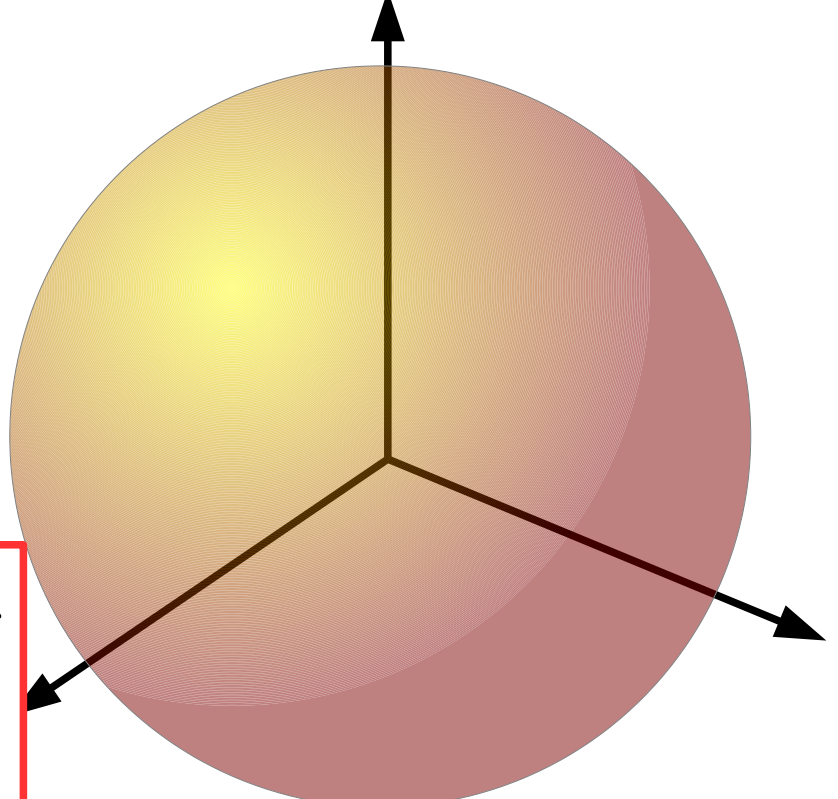
$$U(r) = \begin{cases} U_0, & r < R (U_0 < 0) \\ 0, & r > R \end{cases}$$

$$-\frac{\hbar^2}{2m} \Delta \Psi + U(r) \Psi = E \Psi$$

$$\Delta \Psi (\text{только } r!) = \frac{1}{r^2} \frac{\partial}{\partial r} \left( r^2 \frac{\partial \Psi}{\partial r} \right)$$

$$\Psi = f/r: \quad -\frac{\hbar^2}{2m} f'' + U_f(r) f = E f$$

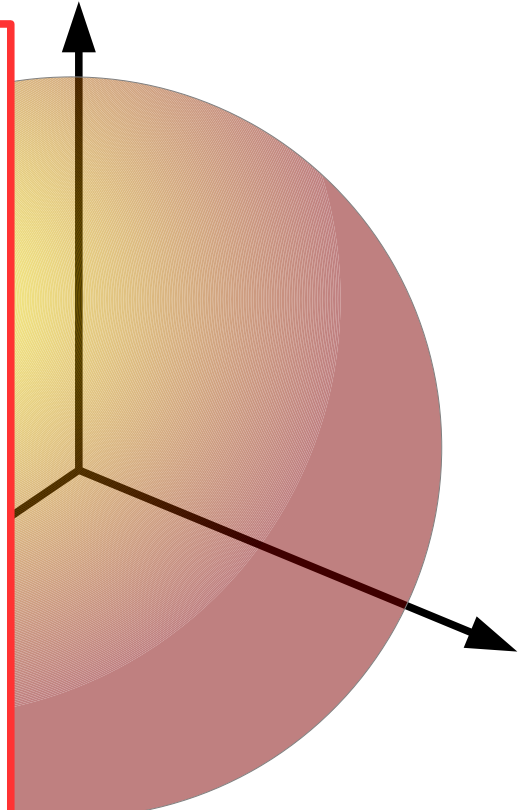
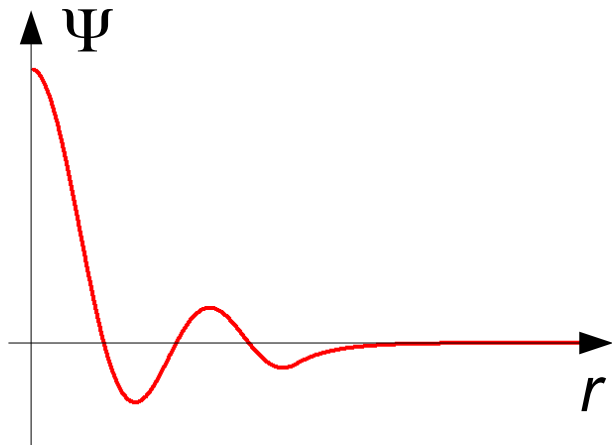
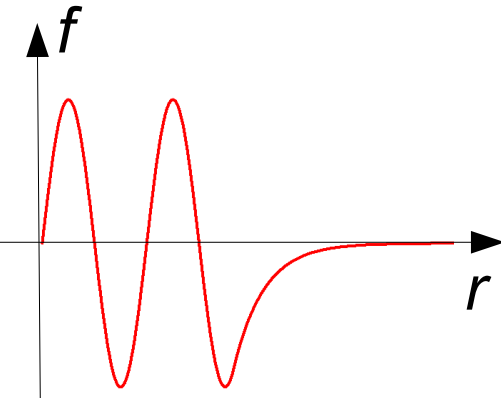
$$U_f(r) = \begin{cases} \infty, & r < 0 \\ U_0, & r < R \\ 0, & r > R \end{cases}$$



# Бонус: Сферическая прямоугольная потенциальная яма

- Сферически симметричные решения в такой яме — все «типа SIN».
- Решения возникают только если

$$\sqrt{\frac{m(-U_0)a^2}{2\hbar^2}} > \frac{\pi}{2}$$



# Главное на лекции

